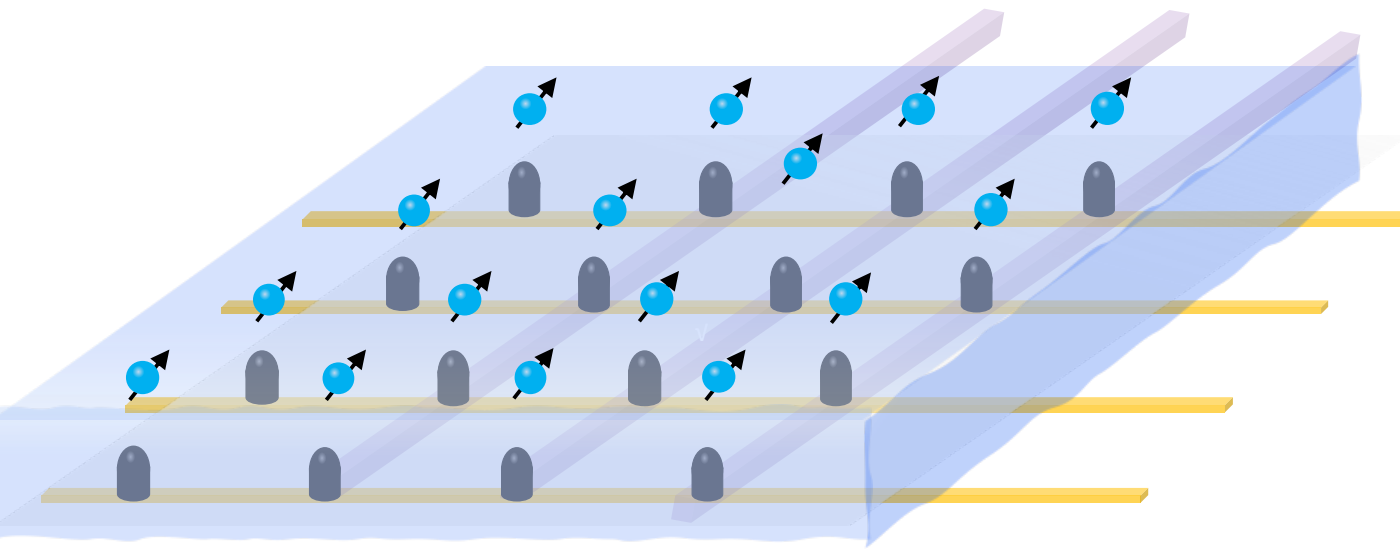
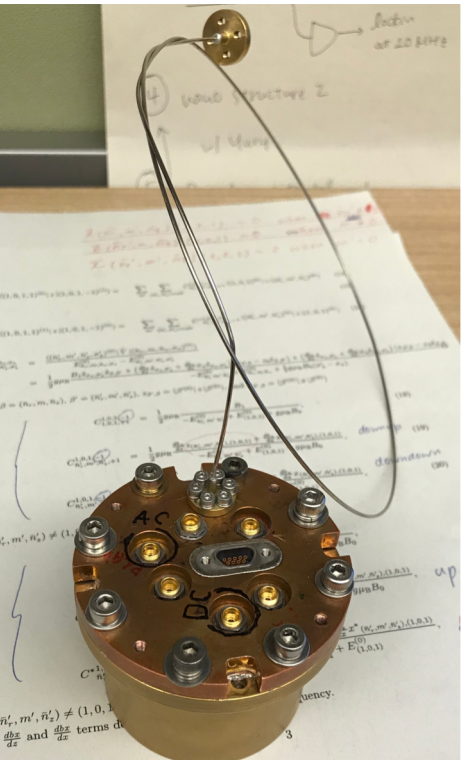


浮揚電子による量子情報



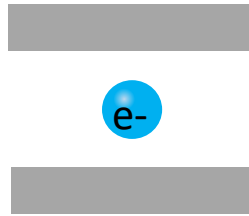
理化学研究所 開拓研究本部
量子コンピュータ研究センター
浮揚電子量子情報理研白眉研究チーム

川上恵里加
Ivan Grytsenko (Senior Technical staff)

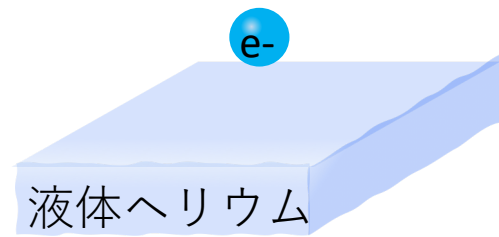
OIST
Denis
Konstantinov
Unit

電子を用いて量子ビットを実現する

トラップ電子

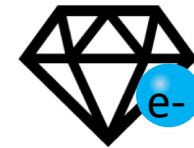


ヘリウム表面上の電子

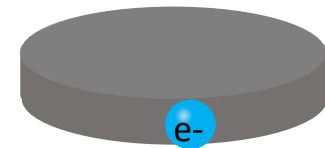


液体ヘリウム

ダイヤモンド中の電子



半導体中の電子



(浮揚電子)

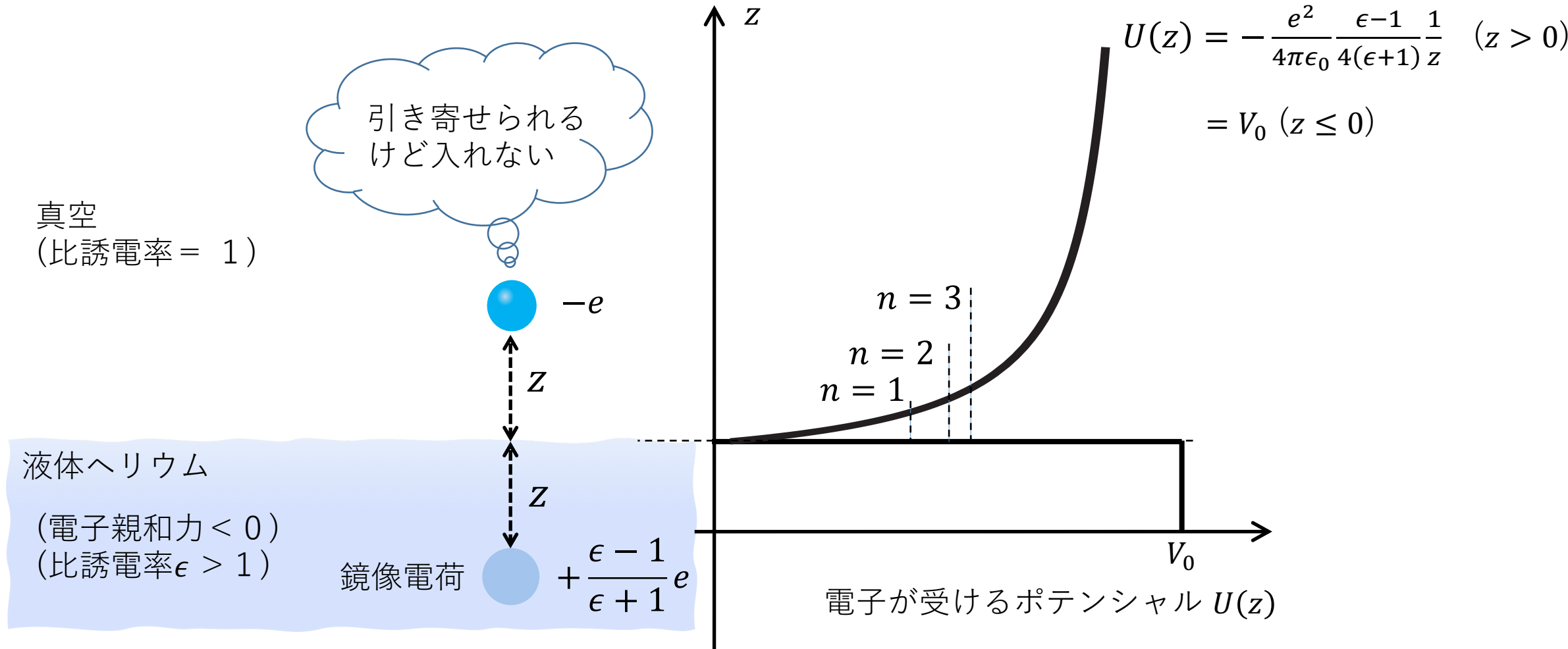
真空中の電子

- ☹ 電子にアクセスしにくい
- ☺ 真空中なので周りに何も無くて綺麗
→ 長いコヒーレンス時間
が予想される

物質中の電子

- ☺ 電子にアクセスしやすい
- ☹ 物質中の欠陥や不純物をコントロールするのが難しい

ヘリウム表面上の電子はなぜ浮かぶのか？



$$\epsilon = 1.056 \text{ for He4}$$

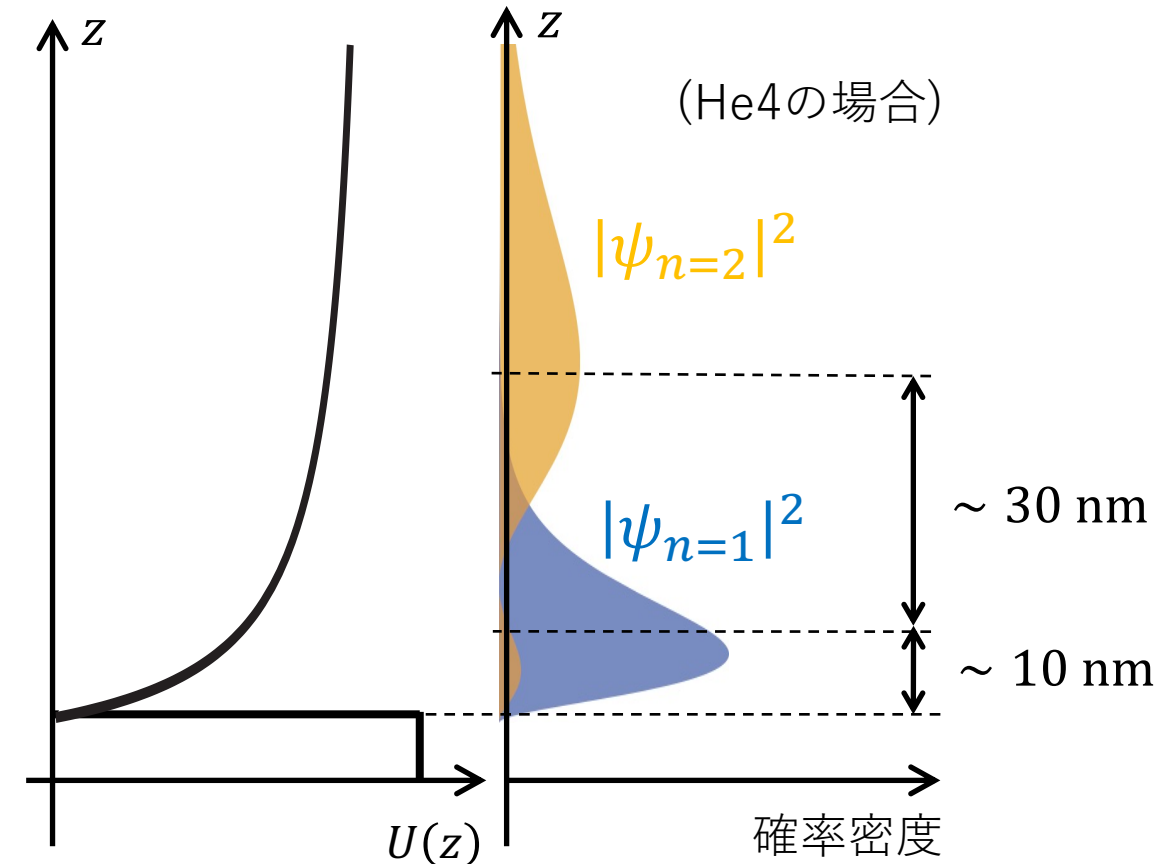
ヘリウム表面上の電子のリュードベリ状態

シュレディンガー方程式

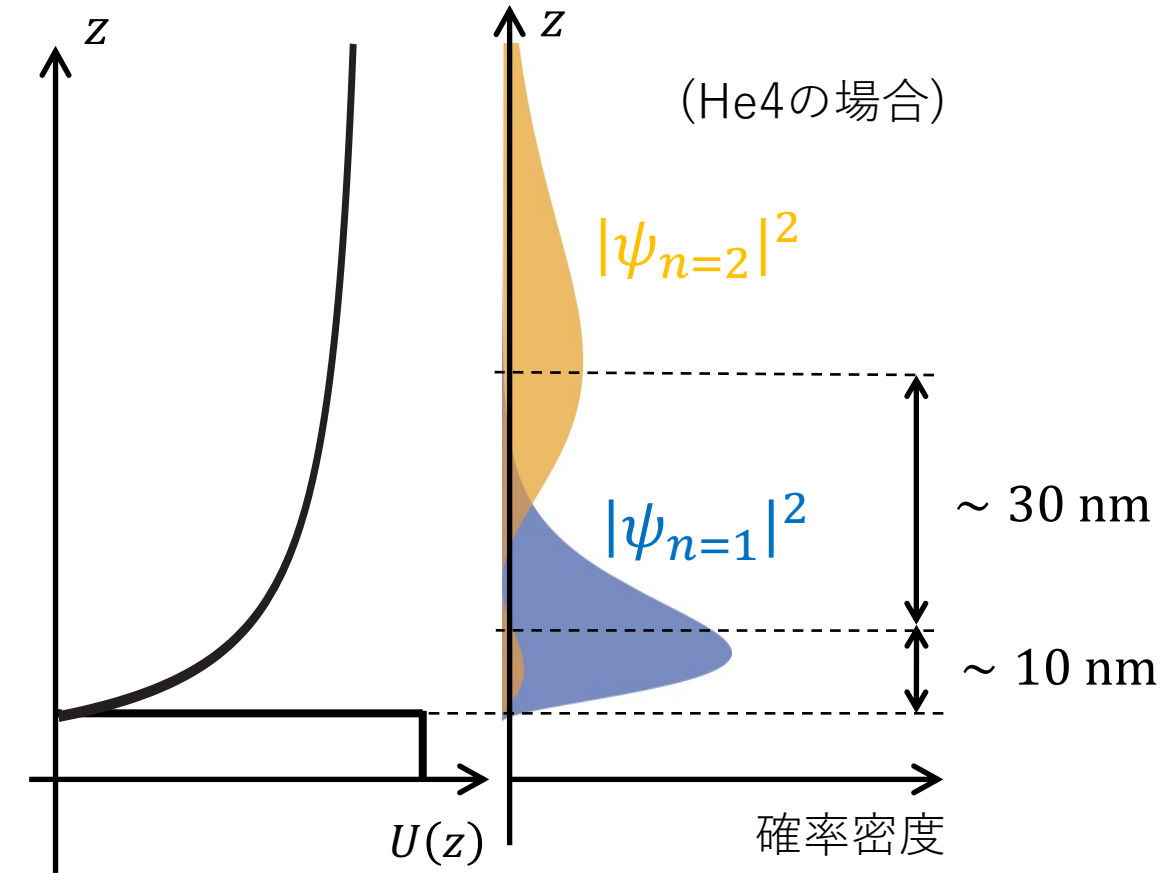
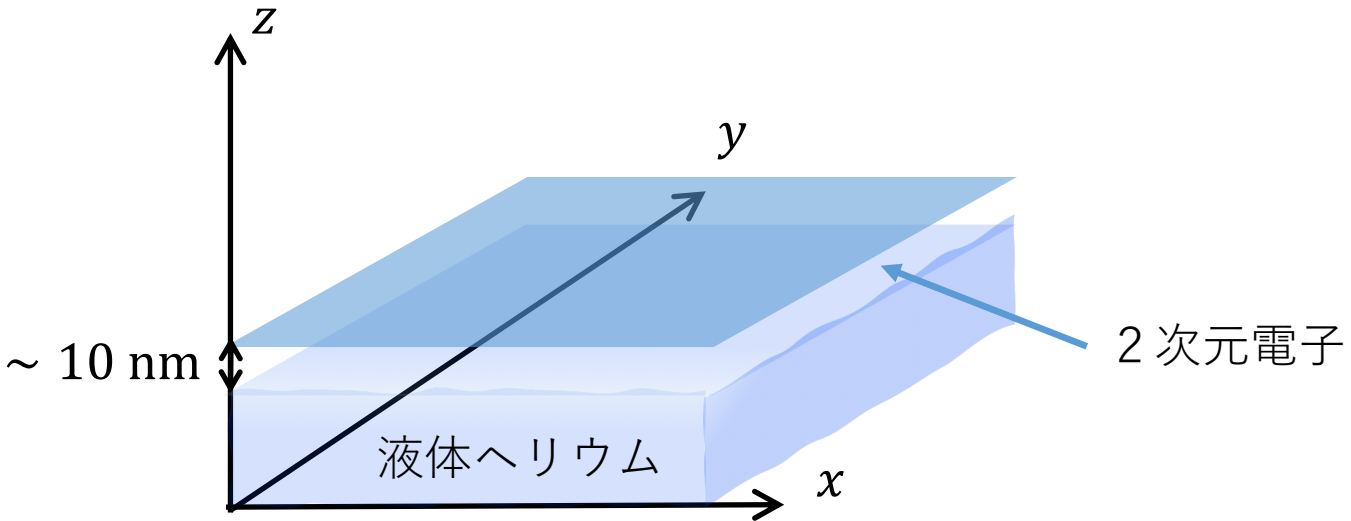
$$\left(-\frac{\hbar^2}{2m_e} \frac{\partial^2}{\partial z^2} - U(z) \right) \psi(z) = E\psi(z)$$

$$E_n = -R_\infty \left(\frac{\epsilon - 1}{4(\epsilon + 1)} \right)^2 \frac{1}{n^2}$$

R_∞ ：リュードベリ定数

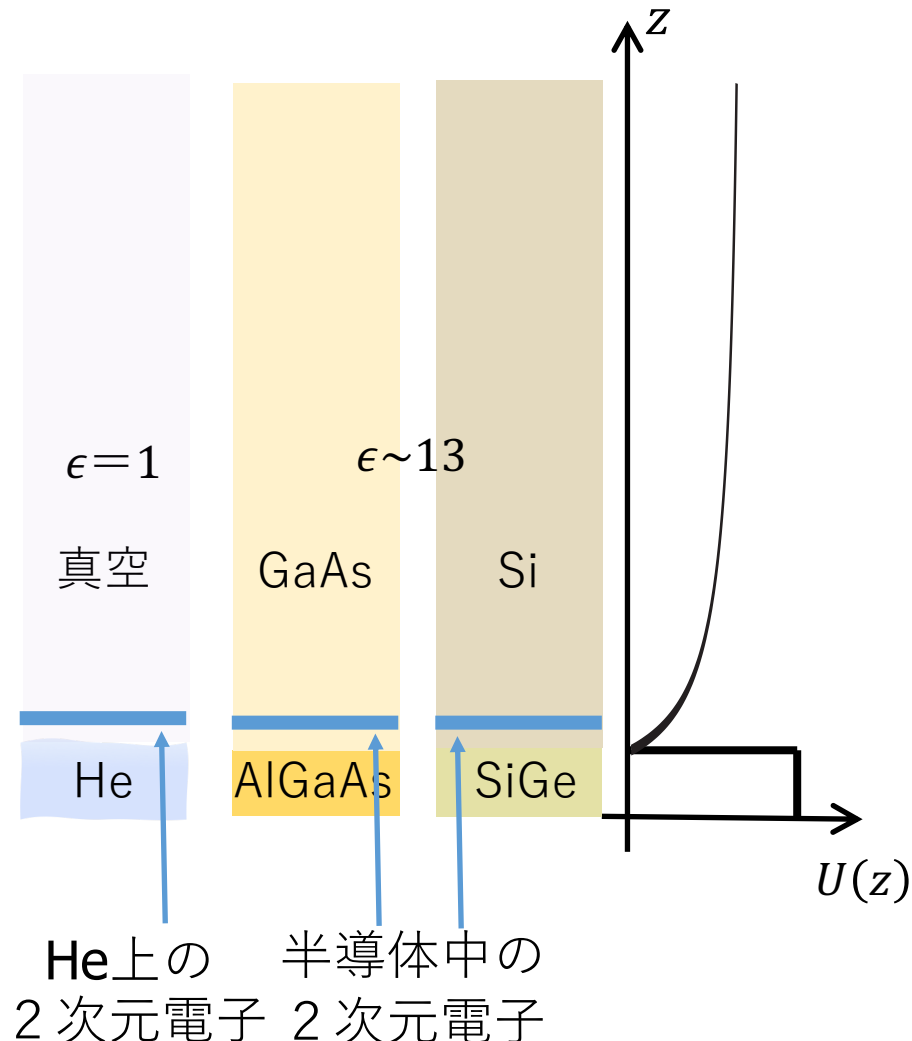


ヘリウム液面から~10 nm上方に2次元電子が出来る



半導体中の2次元電子との比較

リュードベリ状態 = z方向の軌道状態

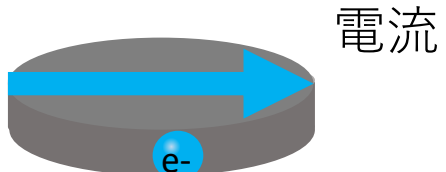


He上の 2次元電子は
半導体中の 2次元電子に比べて

- 移動度が高い
(欠陥・不純物などの影響が無いから)
→ 長いコヒーレンス時間が予想される
- 電子密度が小さい
(クーロン相互作用が大きいから
電子間距離を小さくするのが難しい)
→ 2量子ビットゲートに交換相互作用
を使うのが難しい

浮いている電子にはアクセスしにくい

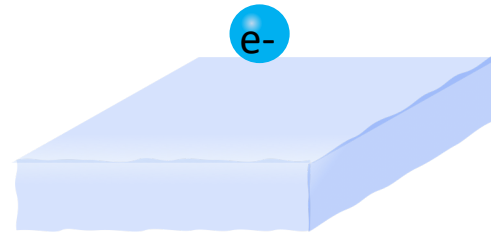
半導体中の電子



单一電子

- ☺ 電子の近傍を流れる電流の値をもとに单一電子の状態を読み出す

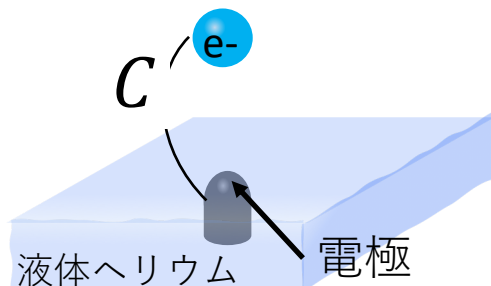
ヘリウム上の電子



2次元電子
は真空中に存在

- ☹ 2次元電子にOhmic contactがとれない

→capacitive に読み出すことで解決しよう



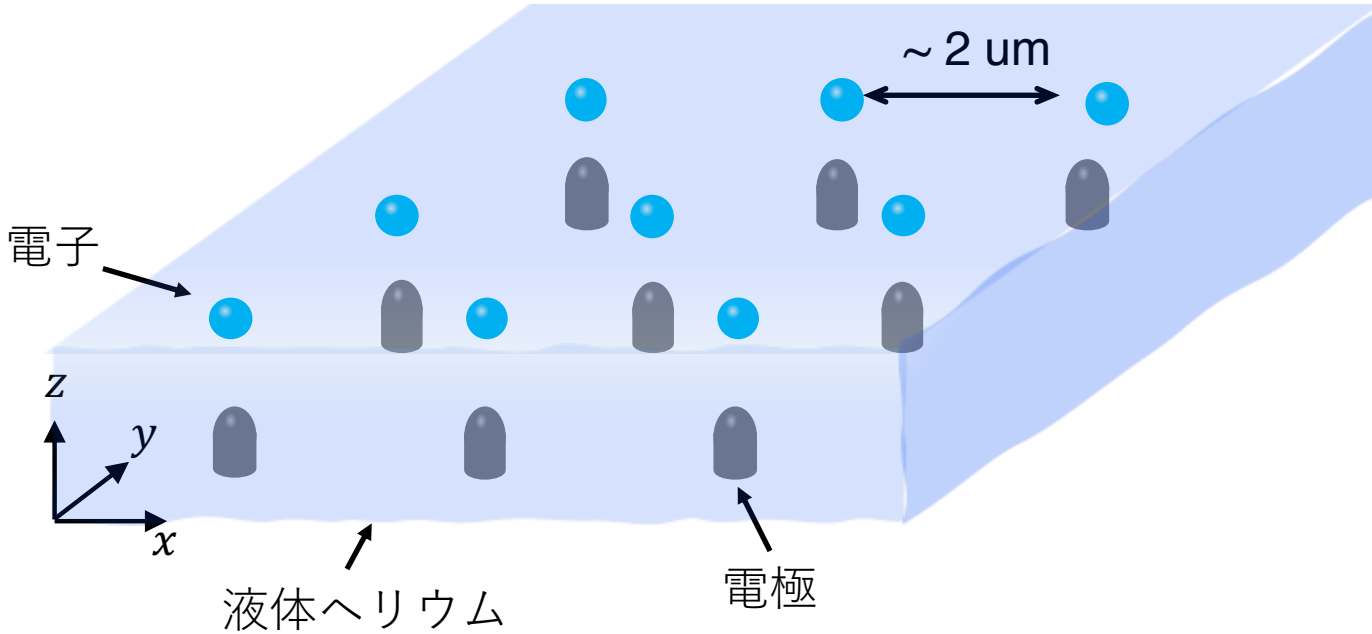
あとで詳しく説明

- E. Kawakami, A. Elarabi, D. Konstantinov, PRL 123, 086801 (2019).
E. Kawakami, A. Elarabi, D. Konstantinov, PRL 126 106802 (2021).

ヘリウム表面上の電子同士の相互作用

相互作用: 2量子ビットゲートの実現に必要

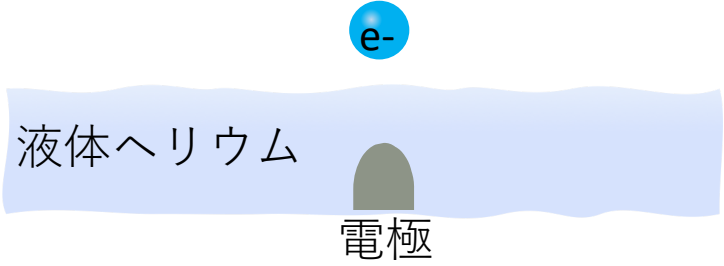
クーロン相互作用 $4J \sim 200 \text{ MHz}$ (電子間距離 $\sim 2\text{um}$)



- ☺ 電子間距離が比較的長くても相互作用が十分に大きい
→ 2次元に並べやすい
(量子誤り訂正のためにには2次元に並べられることが重要)

ヘリウム液面上の電子を用いて量子ビットを作る

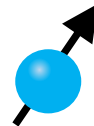
1電子 = 1 量子ビット



Proposal その1 : リュードベリ状態を量子状態として用いる

P. M. Platzman and M. I. Dykman, Science 284, 1967 (1999).

M. I. Dykman, P. M. Platzman, P. Seddighrad, Phys. Rev. B 67, 155402 (2003).



Proposal その2 : スピン状態を量子状態として用いる

S. A. Lyon, Phys. Rev. A 74, 052338 (2006).

リュードベリ状態	スピン状態
相互作用が大きい ~1 GHz (電子間距離: 1 μm)	相互作用が小さい ~100 Hz (電子間距離: 0.1 μm)
コヒーレンス時間が短い ~1 us (理論, 実験)	コヒーレンス時間が長い >100 s (理論予測)

ヘリウム液面上の電子を用いて量子ビットを作る

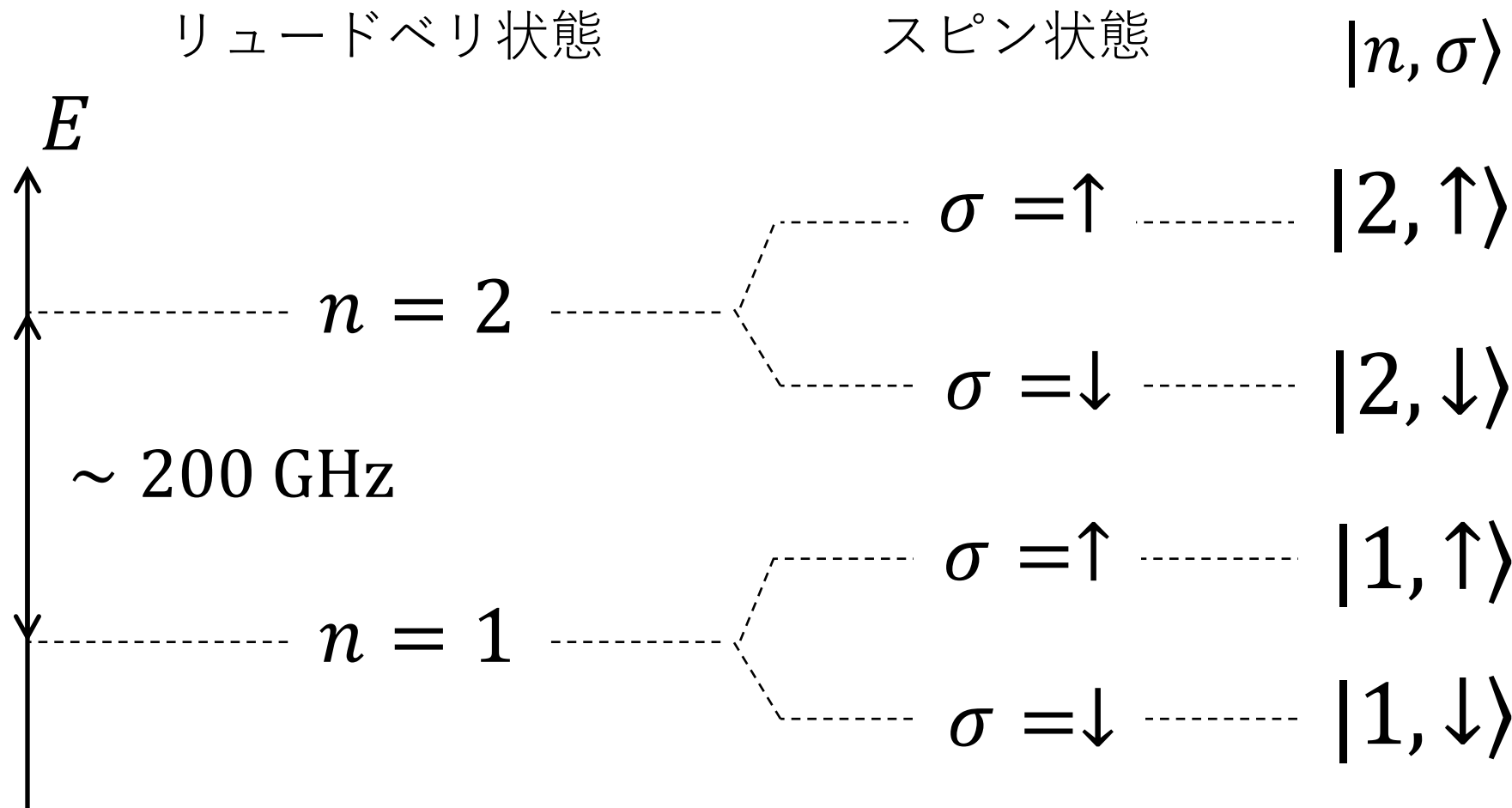
1電子 = 1 量子ビット

相互作用が小さい → ②量子ビットゲートが遅くなってしまう。
→ ③量子状態の読み出しが難しい。

コヒーレンス時間が短い → ④量子ビットの精度が悪くなってしまう。

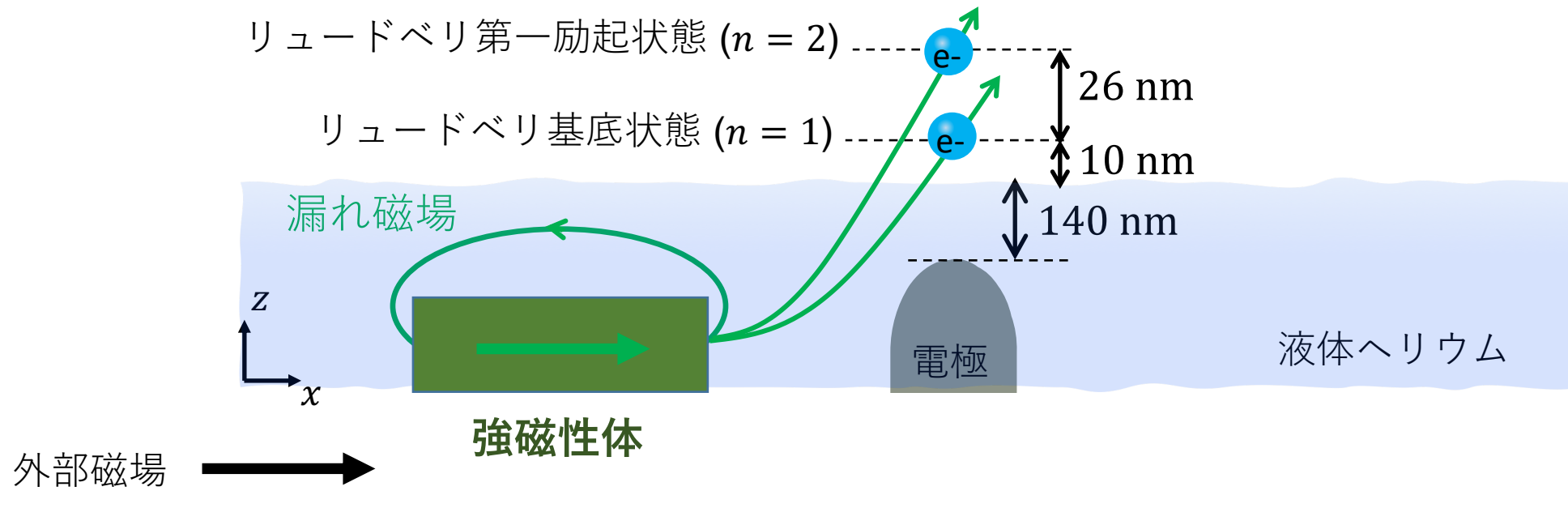
リュードベリ状態	スピニン状態
相互作用(クーロン相互作用)が大きい ~1 GHz (電子間距離: 1 μm)	相互作用(磁気双極子相互作用)が小さい ~100 Hz (電子間距離: 0.1 μm)
コヒーレンス時間が短い ~1 μs (理論, 実験)	コヒーレンス時間が長い >100 s (理論予測)

スピンドリュードベリのハイブリッド量子ビット

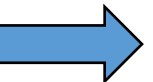


リュードベリ状態とスピン状態間に人工的な相互作用を作る
(intrinsic にはほぼ 0 [S. A. Lyon, Phys. Rev. A 74, 052338 (2006).])

リュードベリ状態とスピン状態間に人工的な相互作用を作る



強磁性体を磁化する



電子の位置によって
(i.e. リュードベリ状態によって)
電子の感じる磁場の大きさが異なる
→ リュードベリ・スピン相互作用

Pioro-Ladrière et al, Nature Phys (2008).
Y. Tokura et. al., PRL **96**, 047202 (2006).
R. Brunner et al., PRL **107**, 146801 (2011).

どのように量子操作を実現させるか

1) 量子ビット状態の読み出し(スピン状態の読み出し)

→ capacitiveに読み出す (次のスライドから詳しく説明)

2) ユニバーサルな 1量子ビットゲート

→ リュードベリ・スピン相互作用を用いてEDSR

Pioro-Ladrière et al, Nature Phys (2008).
Y. Tokura et. al., PRL **96**, 047202 (2006).
R. Brunner et al., PRL **107**, 146801 (2011).

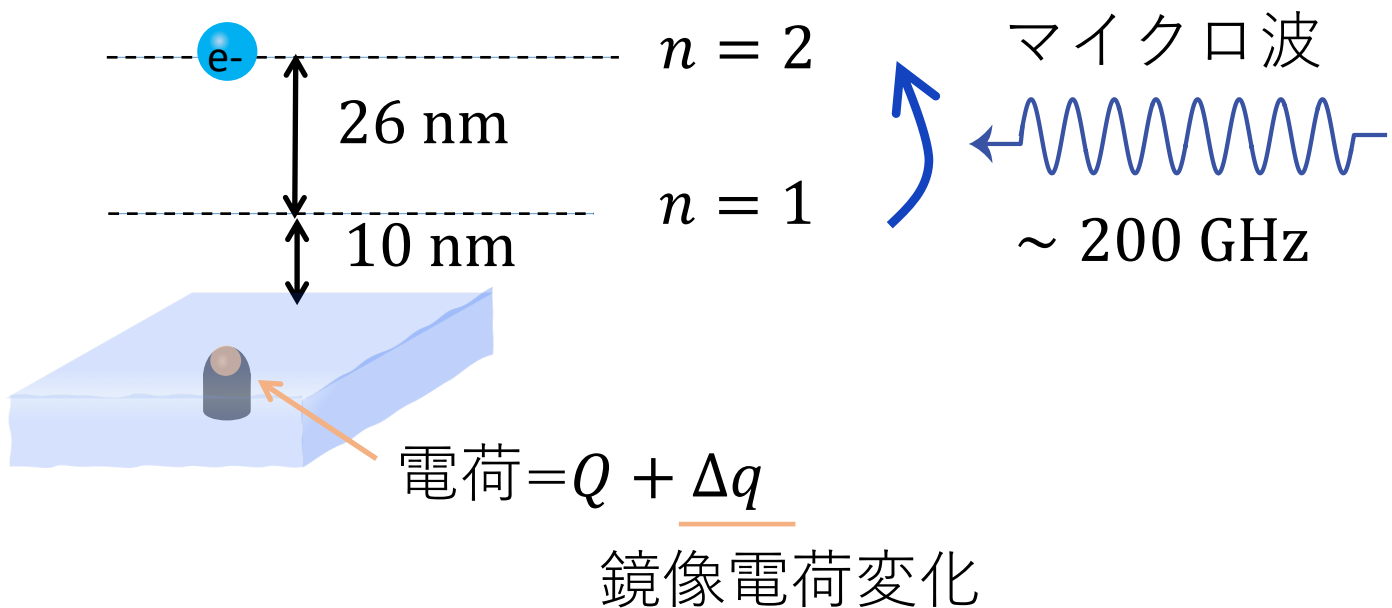
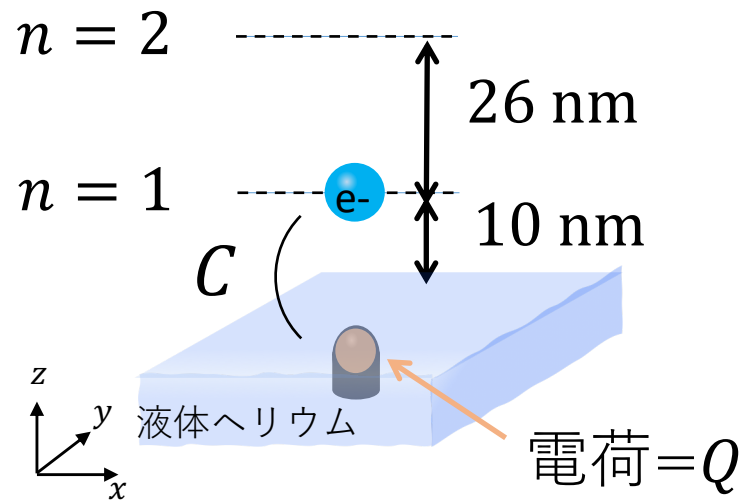
3) ある1つの 2量子ビットゲート

→ クーロン相互作用を用いてリュードベリ状態の 2量子ビットゲートを実現

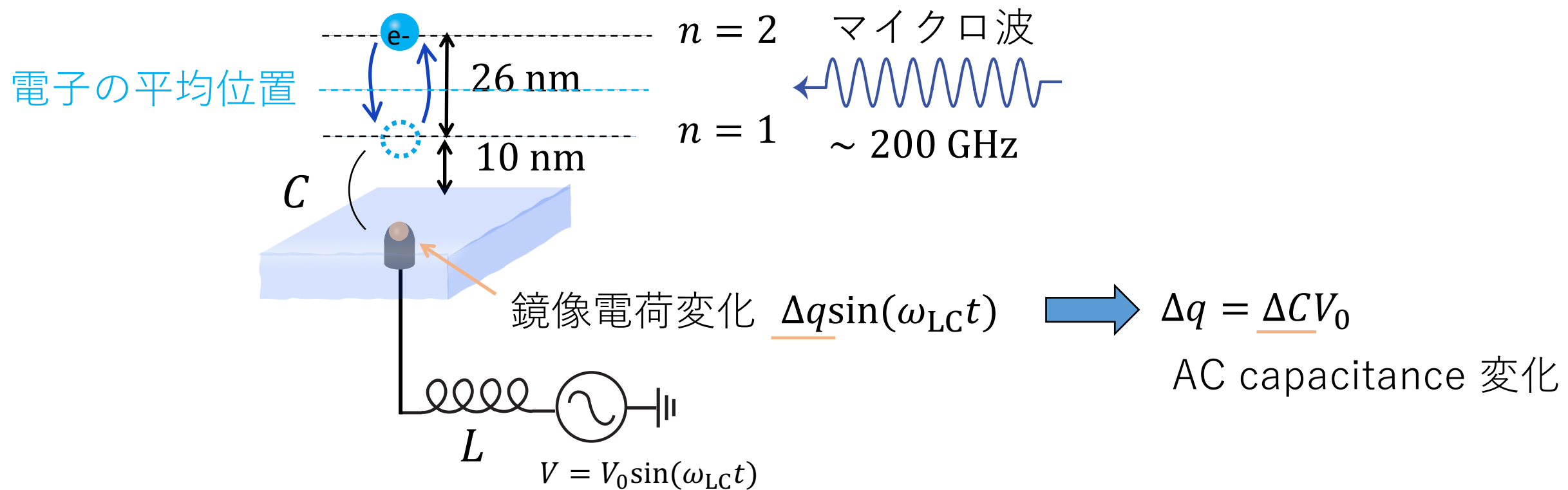
→ リュードベリ・スピン相互作用を用いてスピン状態の 2量子ビットゲートに変換

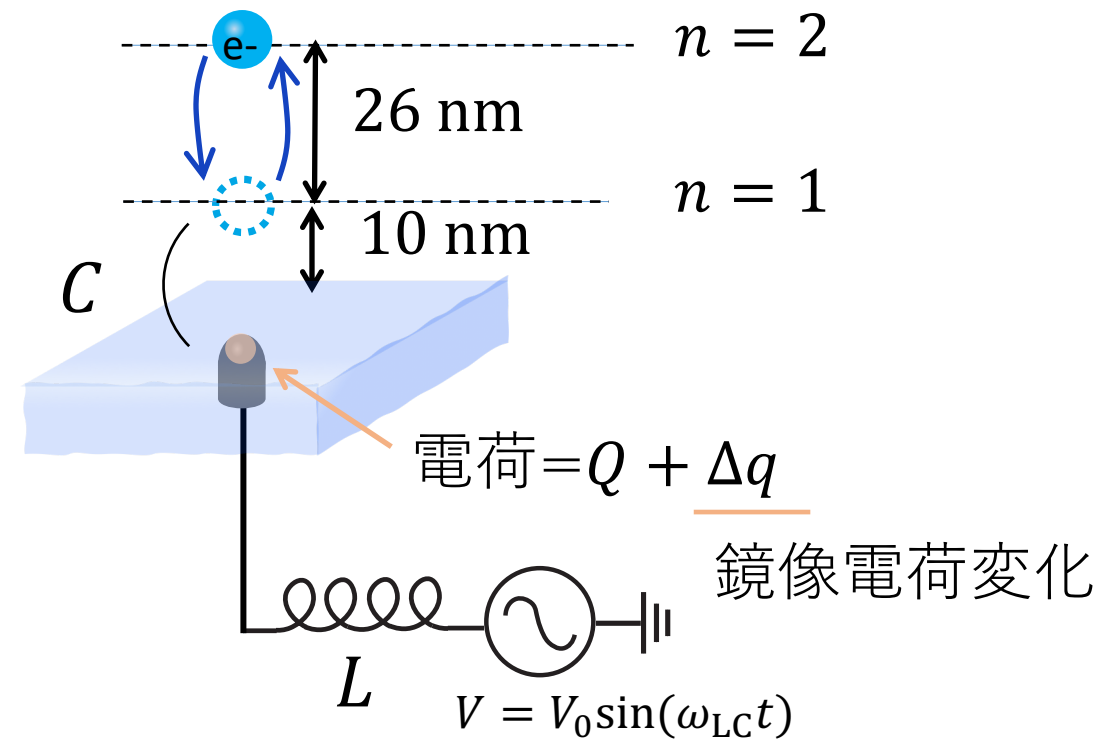
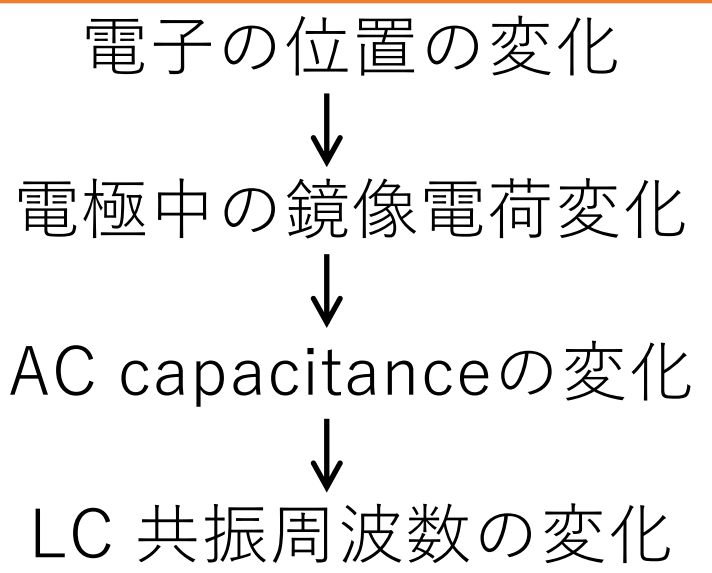
リュードベリ状態の遷移をcapacitiveに読み出す

電子の位置の変化
↓
電極中の鏡像電荷変化



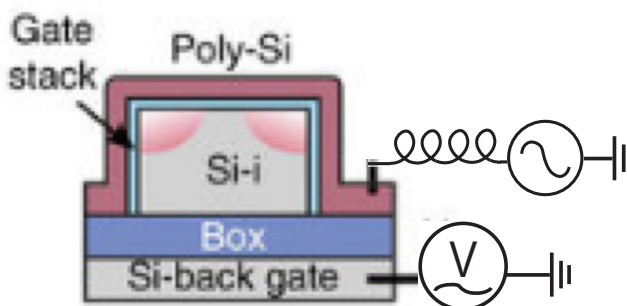
電子の位置の変化
 ↓
 電極中の鏡像電荷変化
 ↓
 AC capacitanceの変化
 ↓
 LC 共振周波数の変化



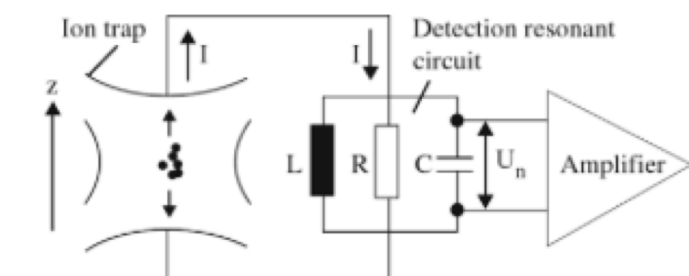


inspired by

- 半導体中の電子



- イオントラップ



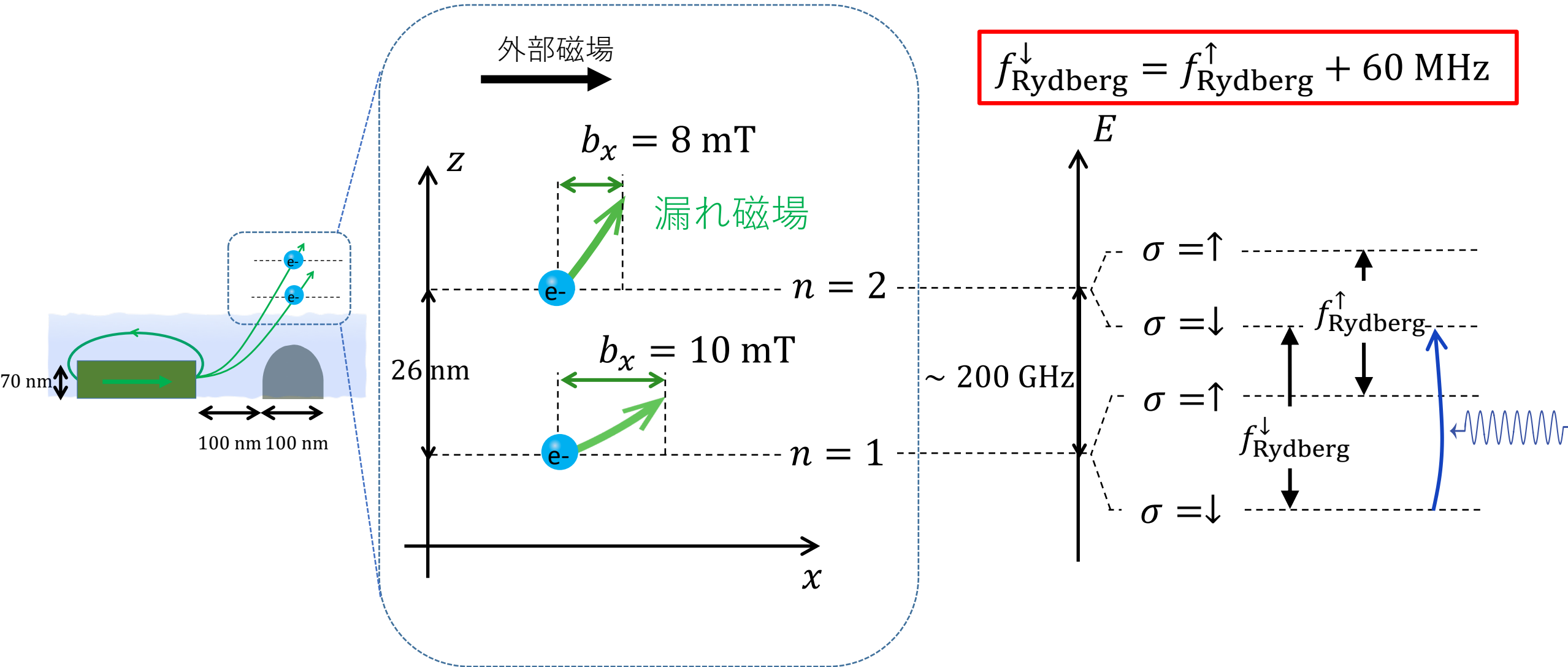
F. Persson, Nano Lett. 10, 953 (2010).

M.F. Gonzalez-Zalba, Nat. comm. 6, 6084 (2015).

D. Wineland, et al., Phys. Rev. Lett. 31, 1279 (1973).

M. Urdampilleta, Phys. Rev. X 5, 031024 (2015)

電子がスピン下向きの時のみ
リュードベリ状態の遷移が起こる



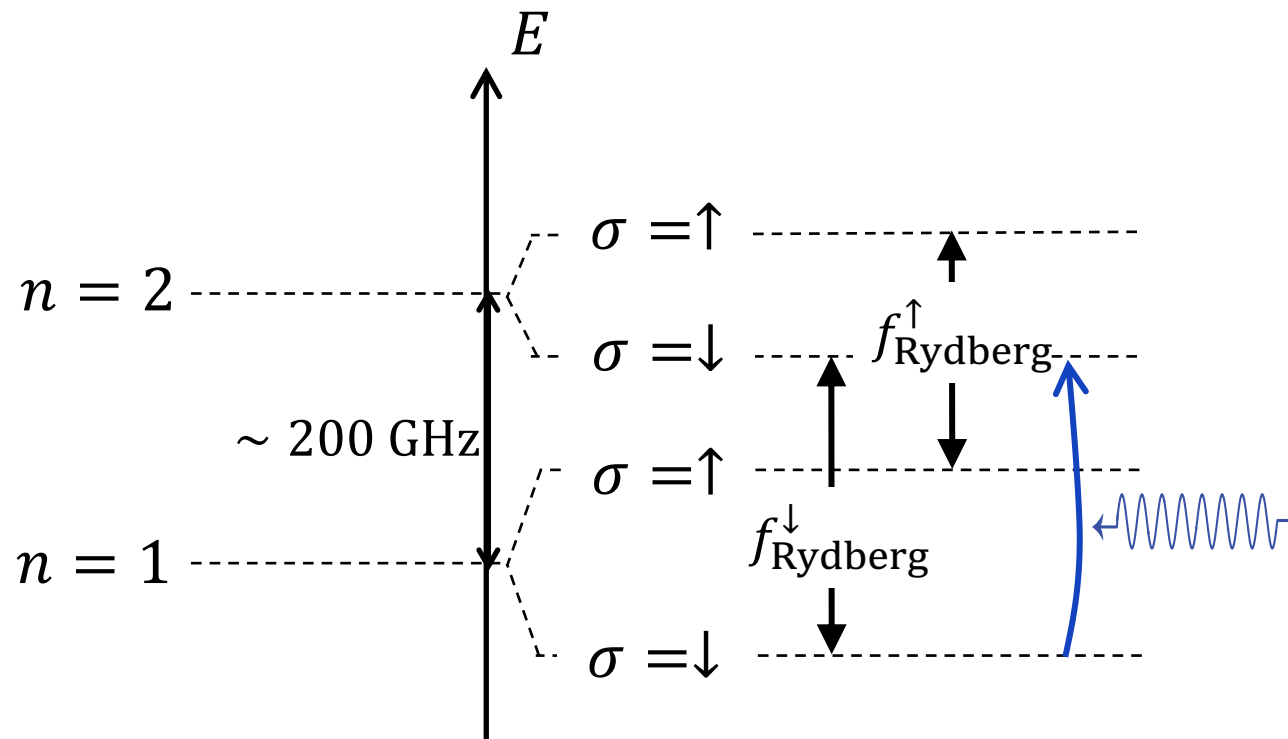
スピン状態の読み出し

電子がスピン下向きの時のみ
リュードベリ状態の遷移が起こる

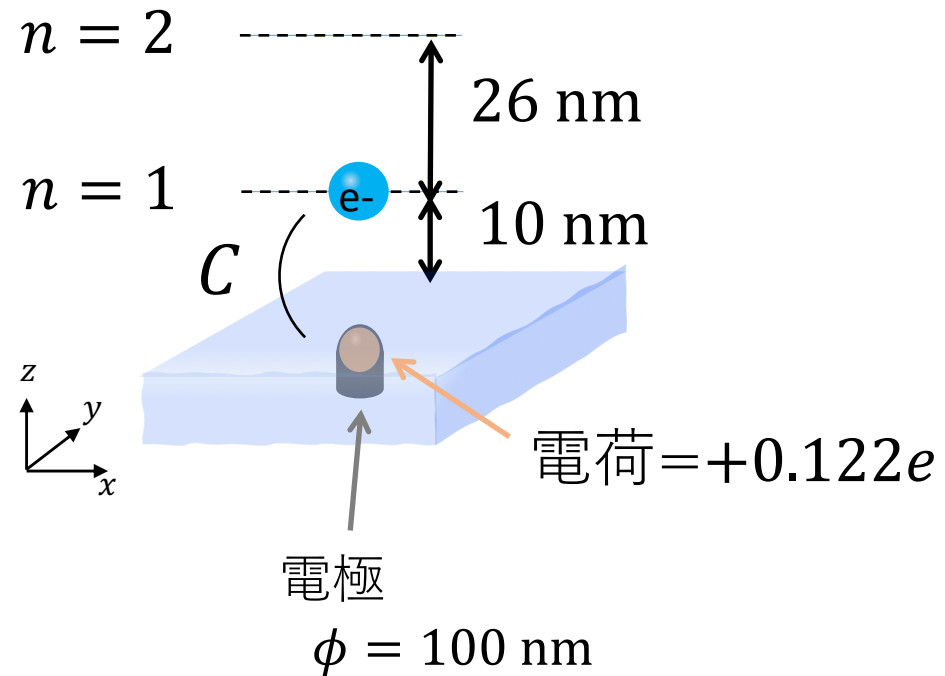


電子の位置の変化
↓
電極中の鏡像電荷変化
↓
AC capacitanceの変化
↓
LC 共振周波数の変化

$$f_{\text{Rydberg}}^{\downarrow} = f_{\text{Rydberg}}^{\uparrow} + 60 \text{ MHz}$$

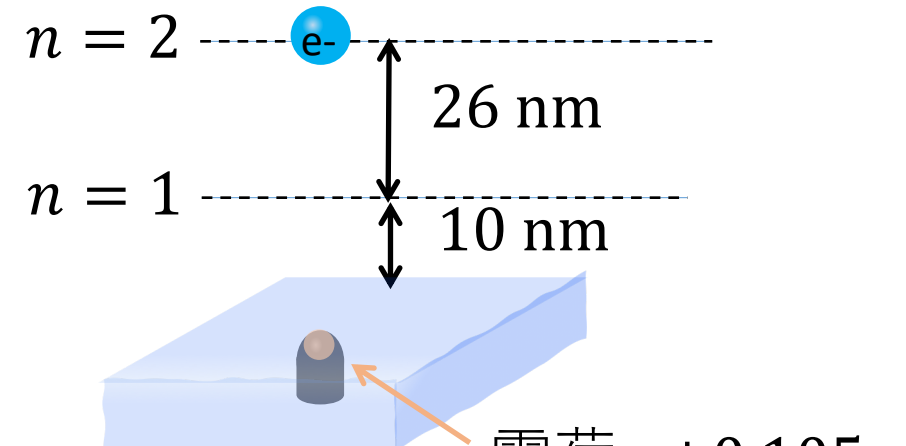


単一電子の検出にはどれほどの測定感度が必要か？



鏡像電荷変化

$$\Delta q = -0.017e$$



$$\text{電荷} = +0.105e$$

液体ヘリウム厚さ~140 nm

$$\text{with } V_0 = 0.1 \text{ mV} \quad \Delta C = \frac{\Delta q}{V_0} \sim 30 \text{ aF}$$

今までの実験で達成したこと

電子がスピンド下向きの時のみ
リュードベリ状態の遷移が起こる



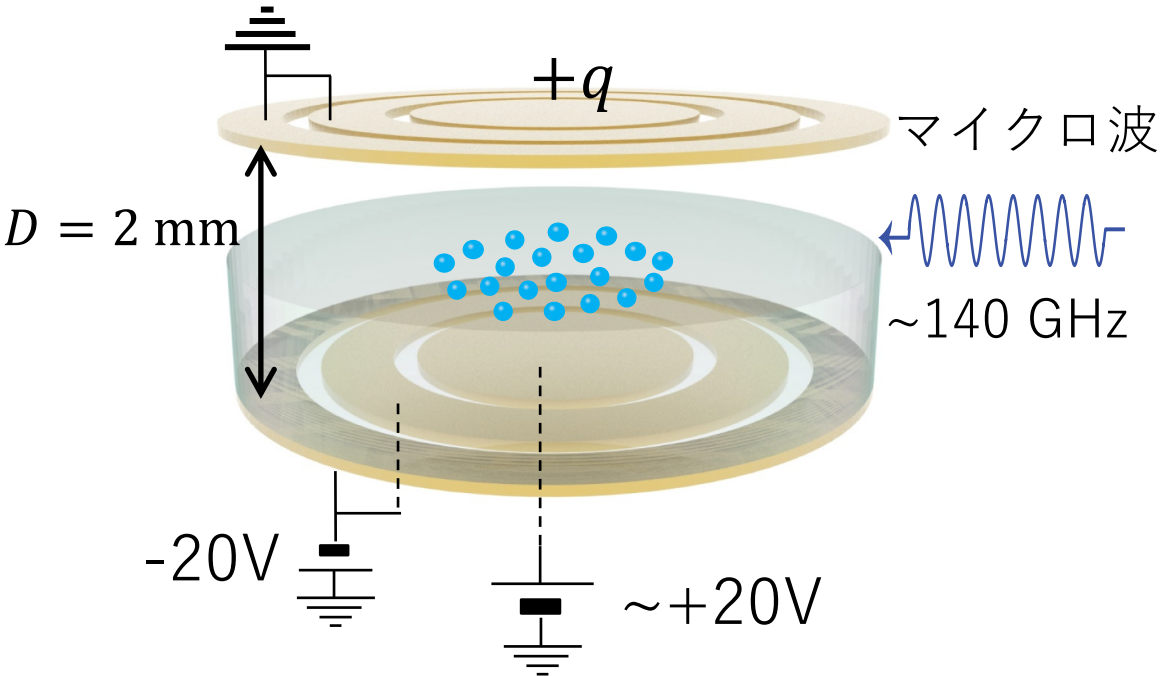
電子の位置の変化
↓
電極中の鏡像電荷変化
↓
AC capacitanceの変化
↓
LC 共振周波数の変化

多数の電子に対して実験的に実証

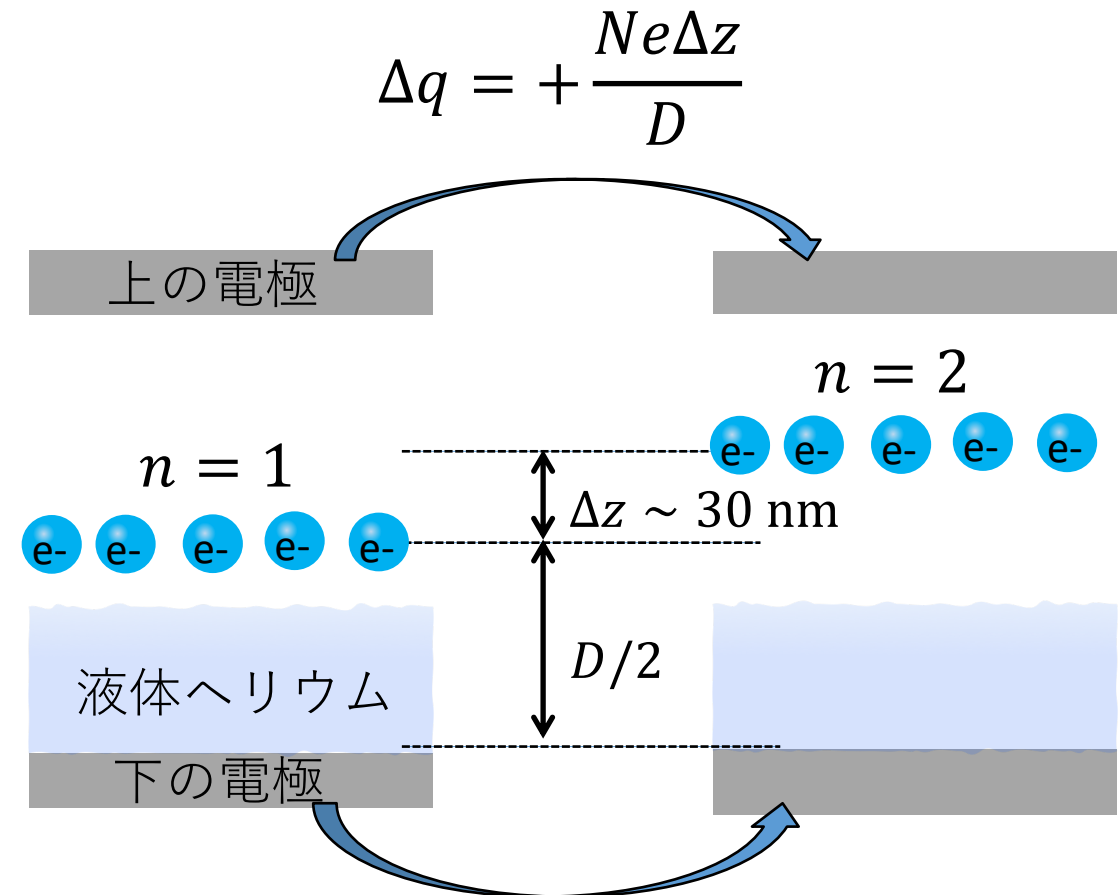
EK, A. Elarabi, D. Konstantinov, PRL 123, 086801 (2019).
EK, A. Elarabi, D. Konstantinov, PRL 126 106802 (2021).

} 0.3 aF/ $\sqrt{\text{Hz}}$ の感度を持つLC共振回路を作成

多数の電子のリュードベリ状態の遷移を鏡像電荷変化によって検出

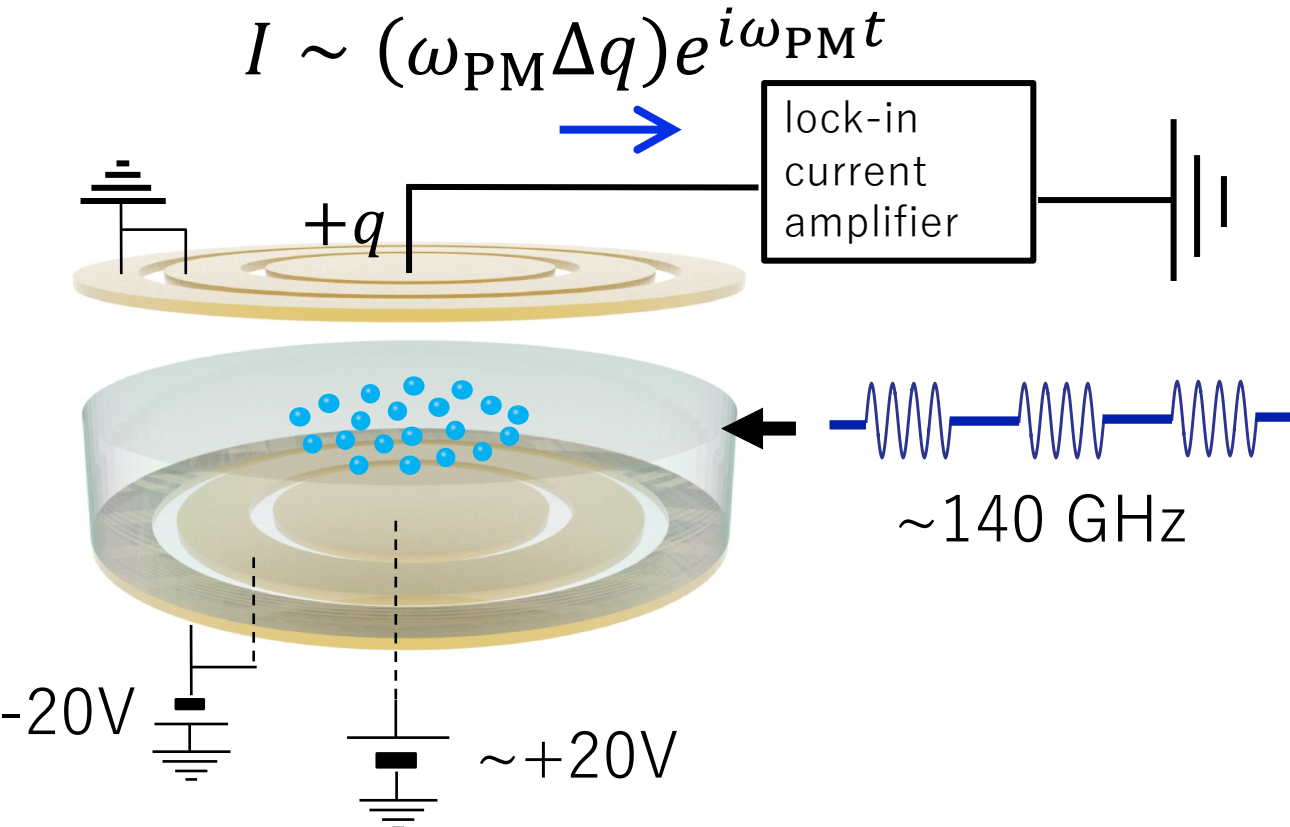


電子の数: $N = \sim 10^7$

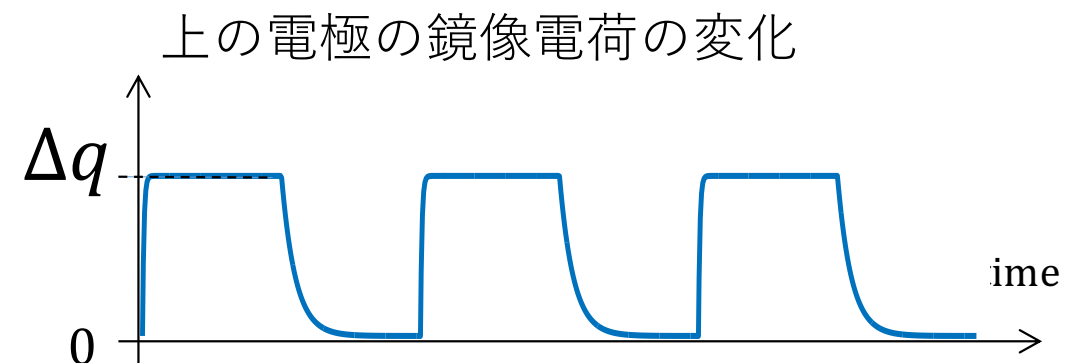


$$\Delta q = -\frac{Ne\Delta z}{D}$$

マイクロ波パルスを与える

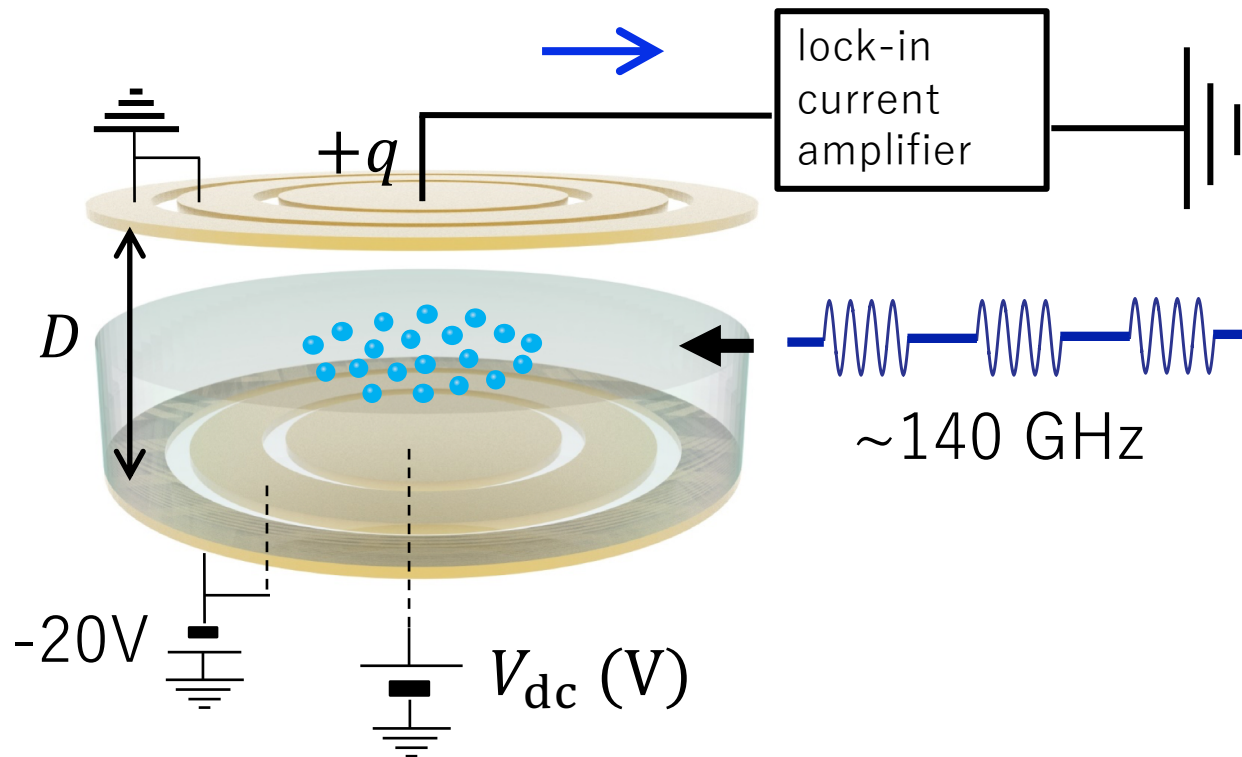


140 GHz のパルスマイクロ波
(変調周波数 $\omega_{\text{PM}} = 250 \text{ kHz}$)

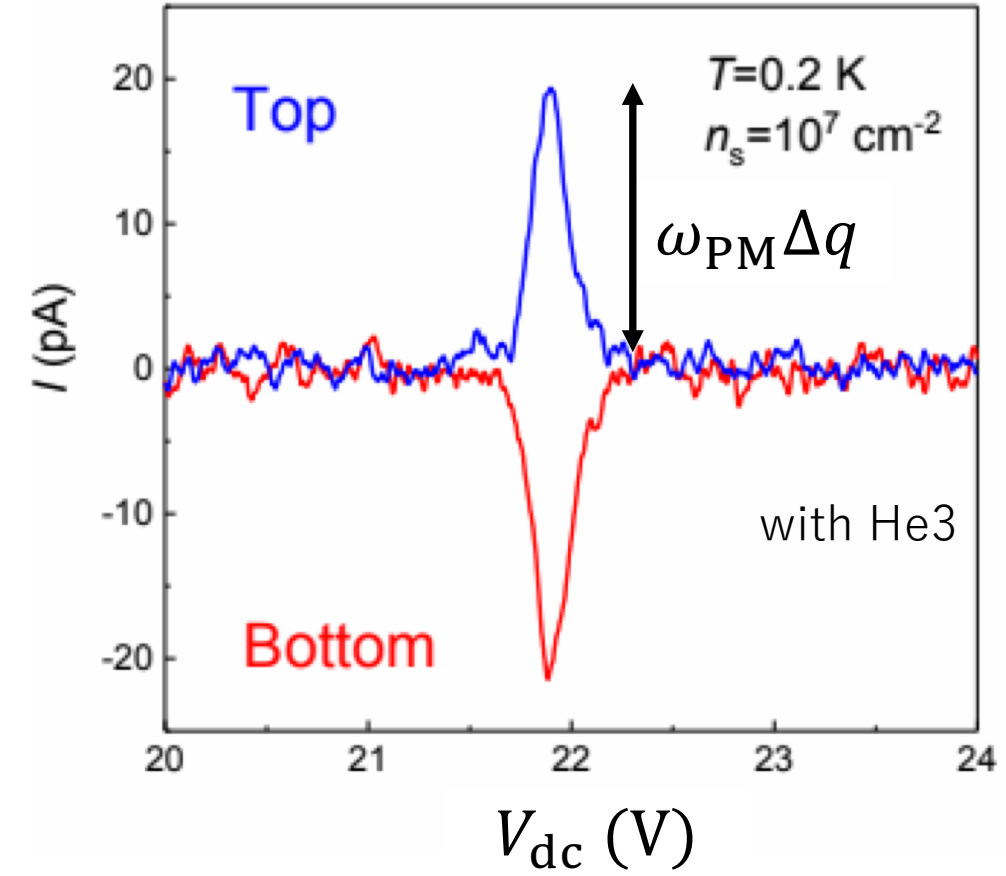


ロックイン電流を測る

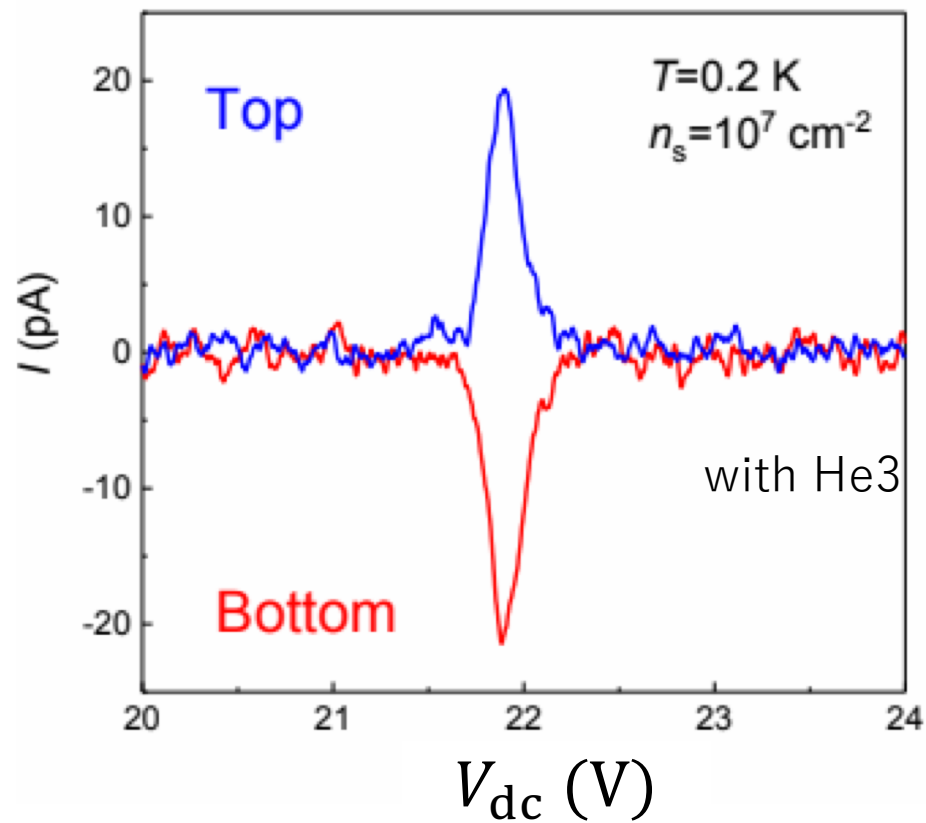
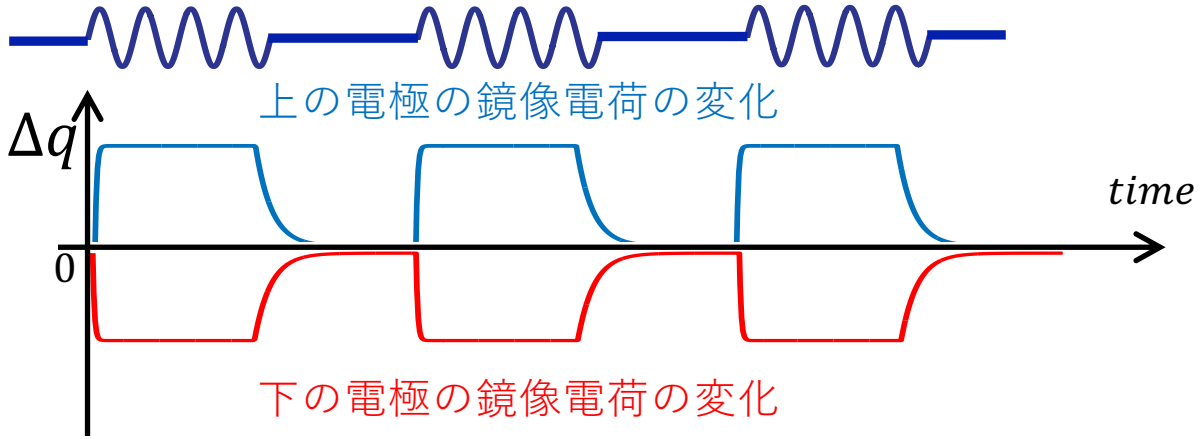
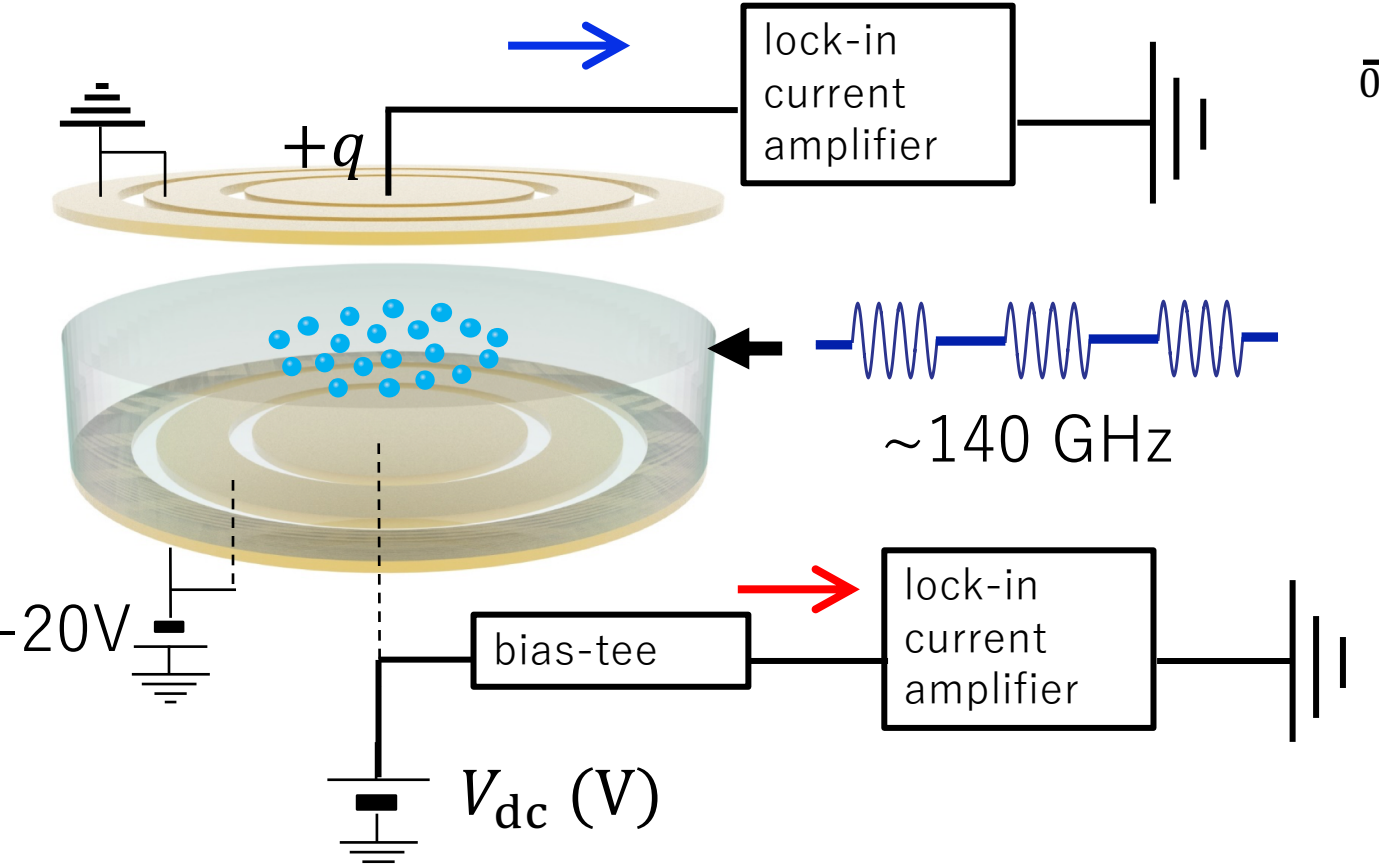
$$I \sim (\omega_{\text{PM}} \Delta q) e^{i\omega_{\text{PM}} t}$$



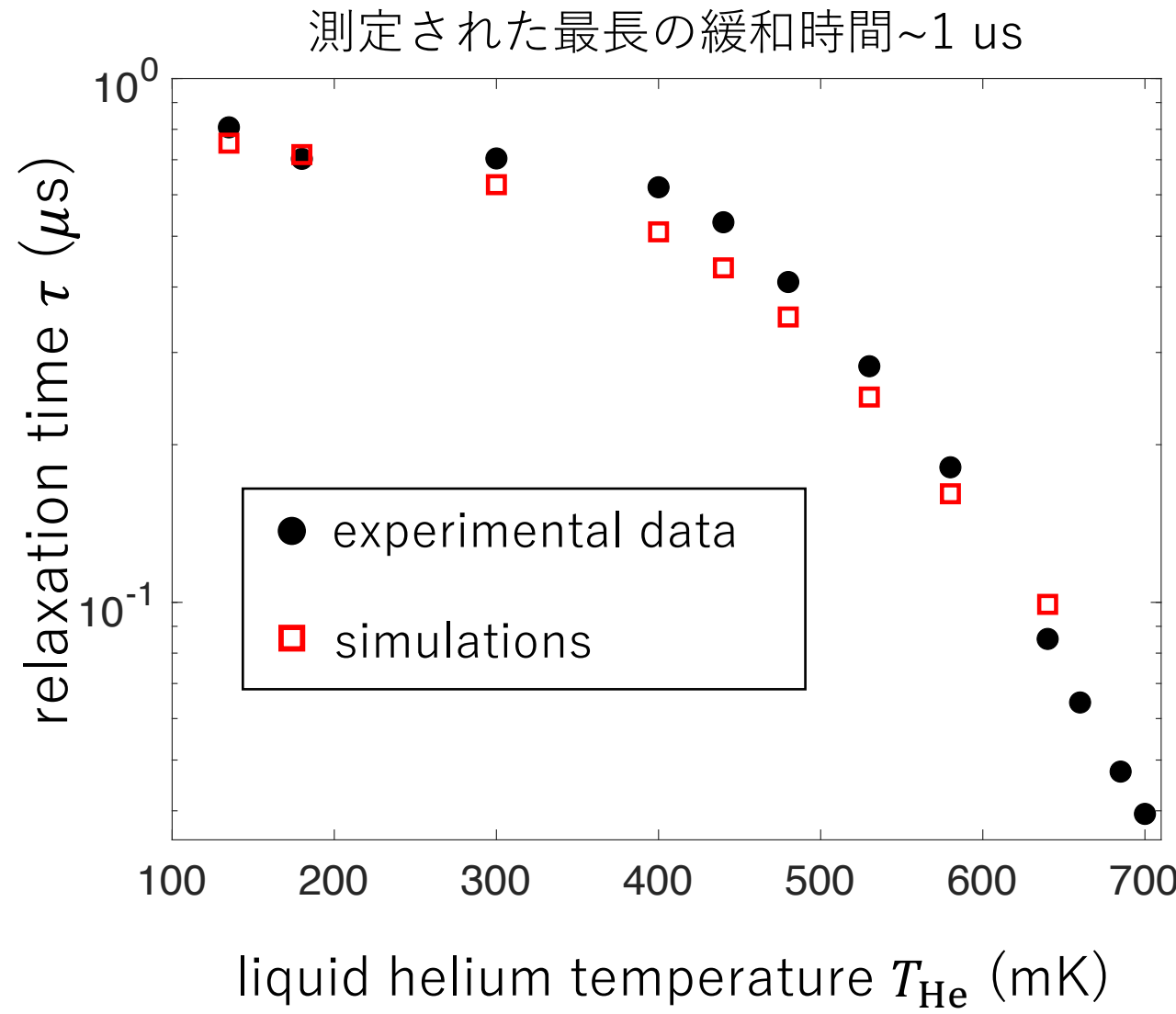
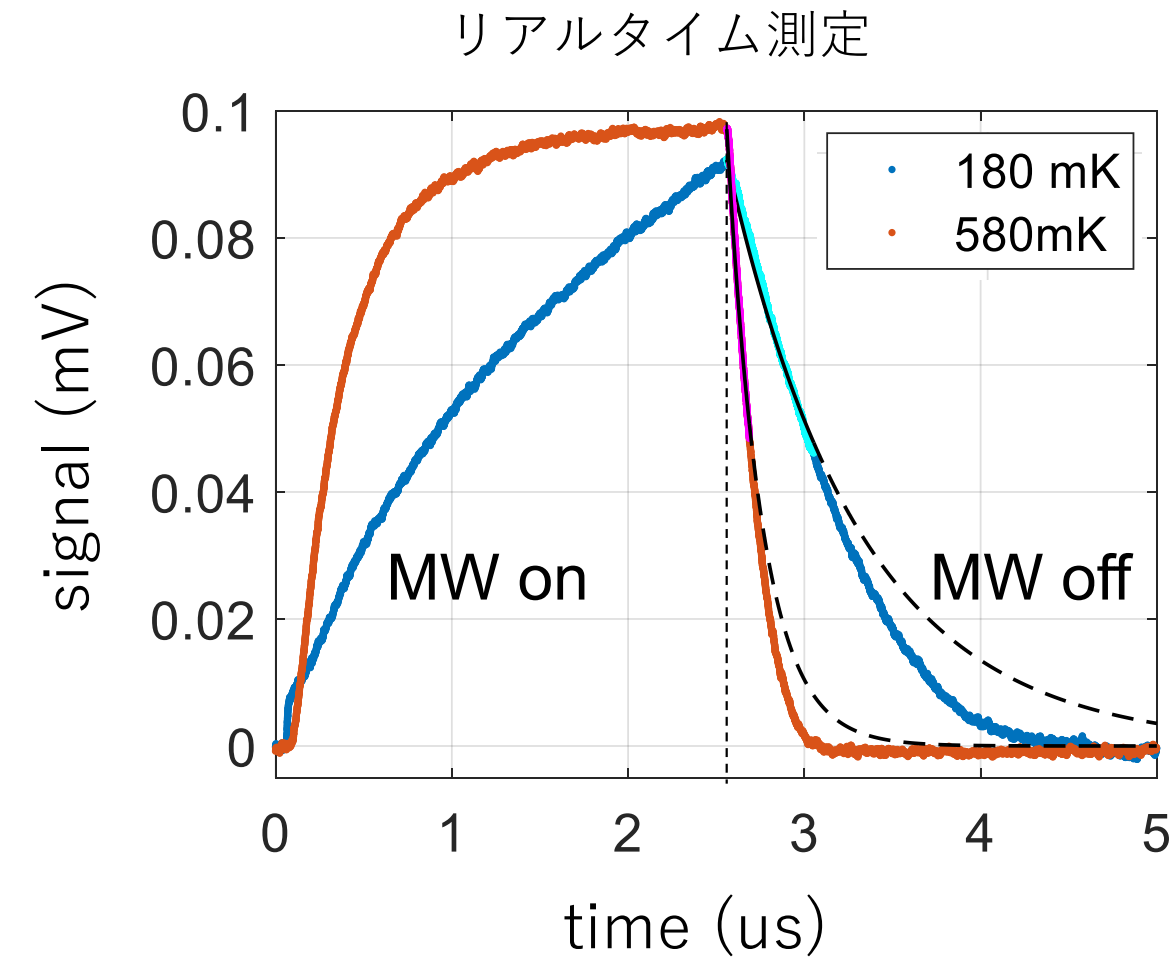
$$\Delta q = \frac{Ne\Delta z}{D} \sim 150e$$



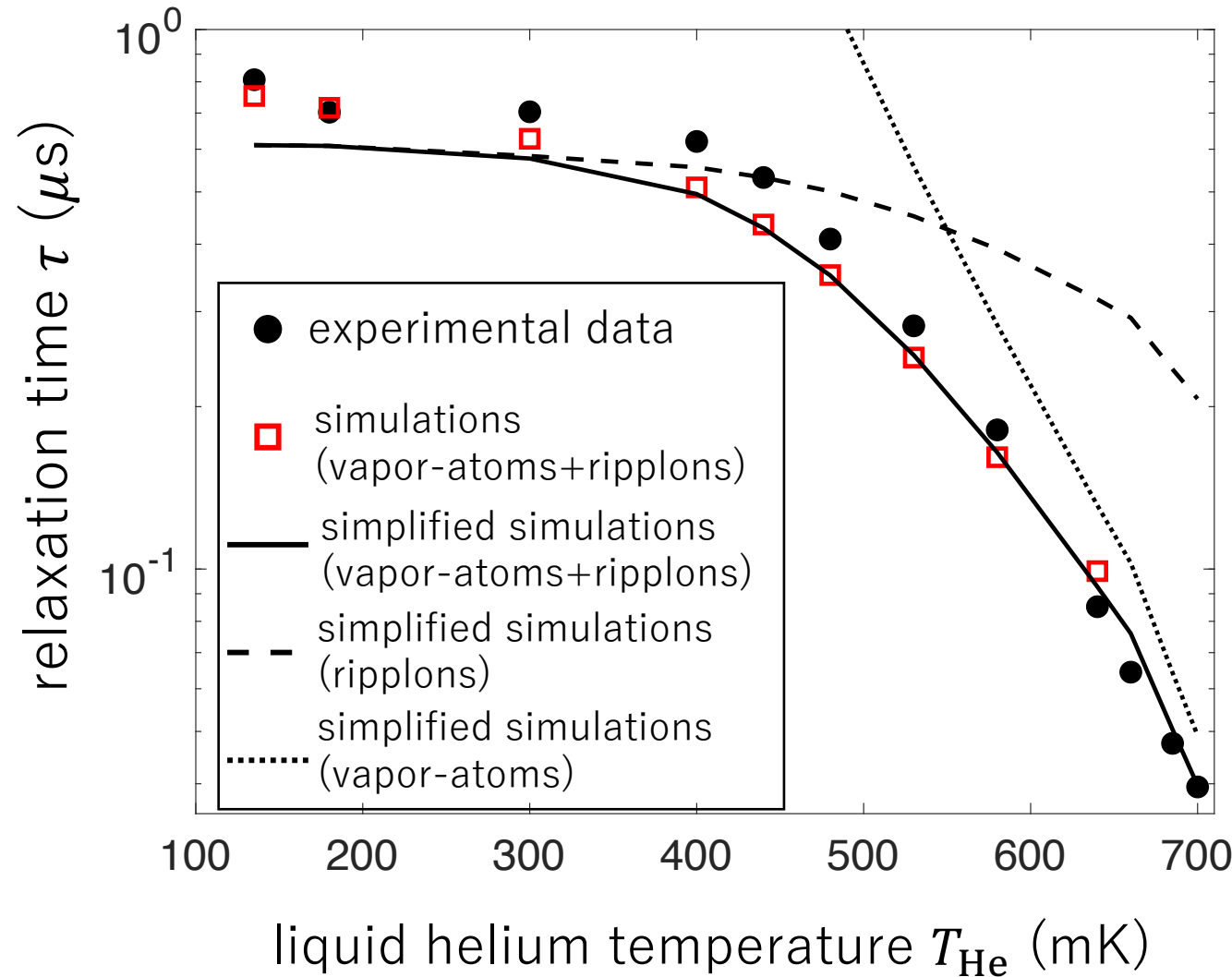
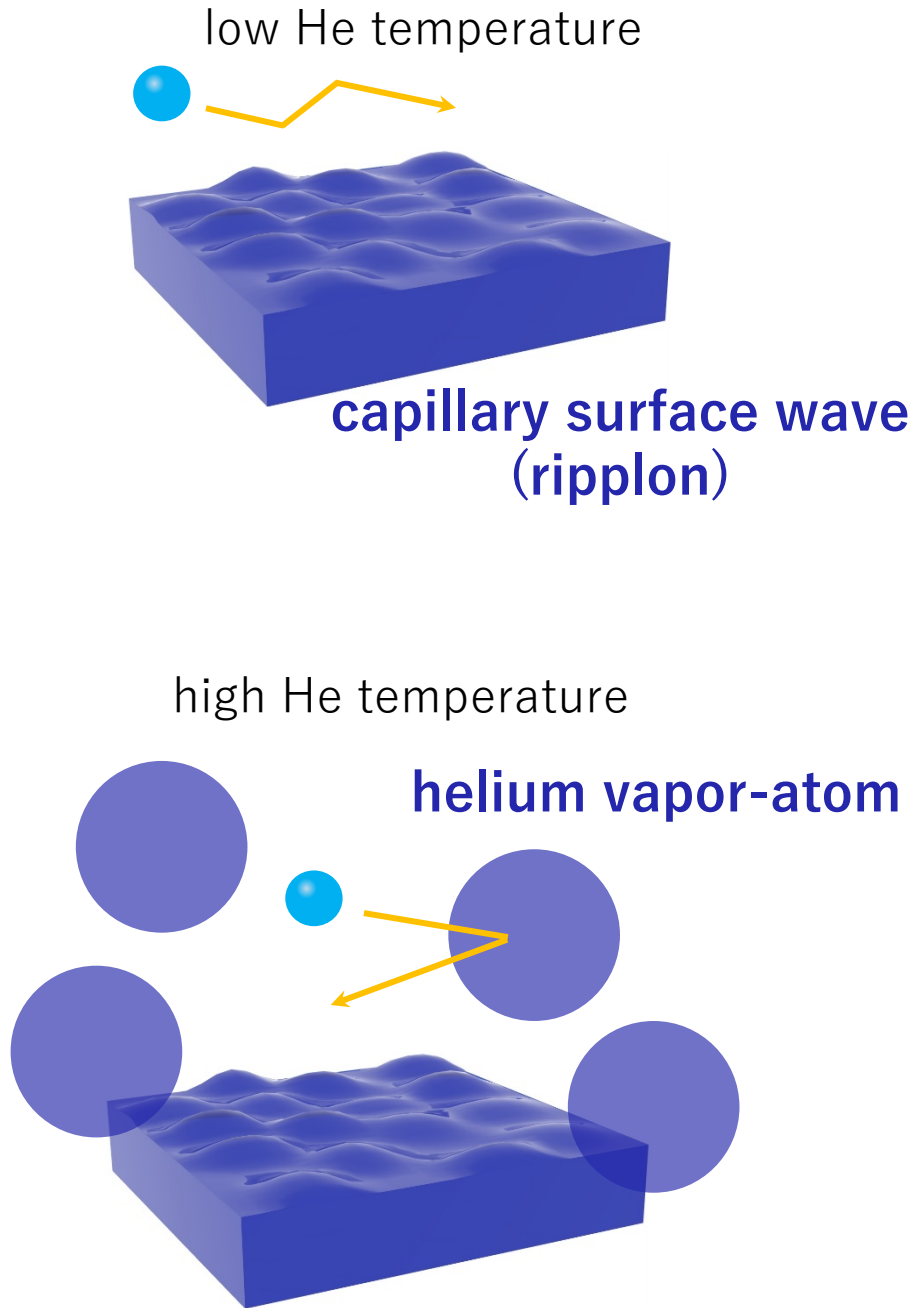
上の電極と下の電極からの信号は位相が180度反転



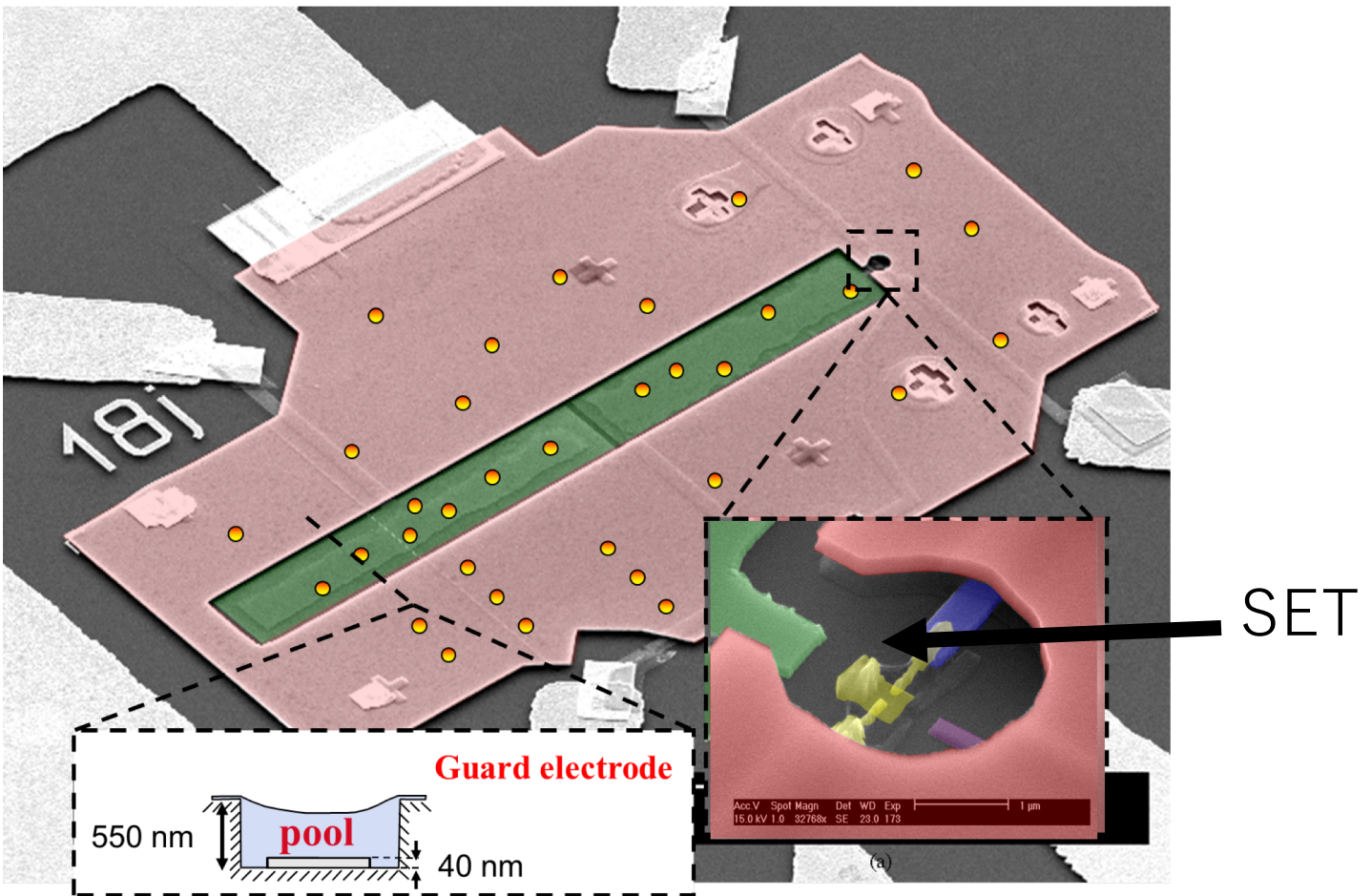
リュードベリ状態の緩和時間を測定



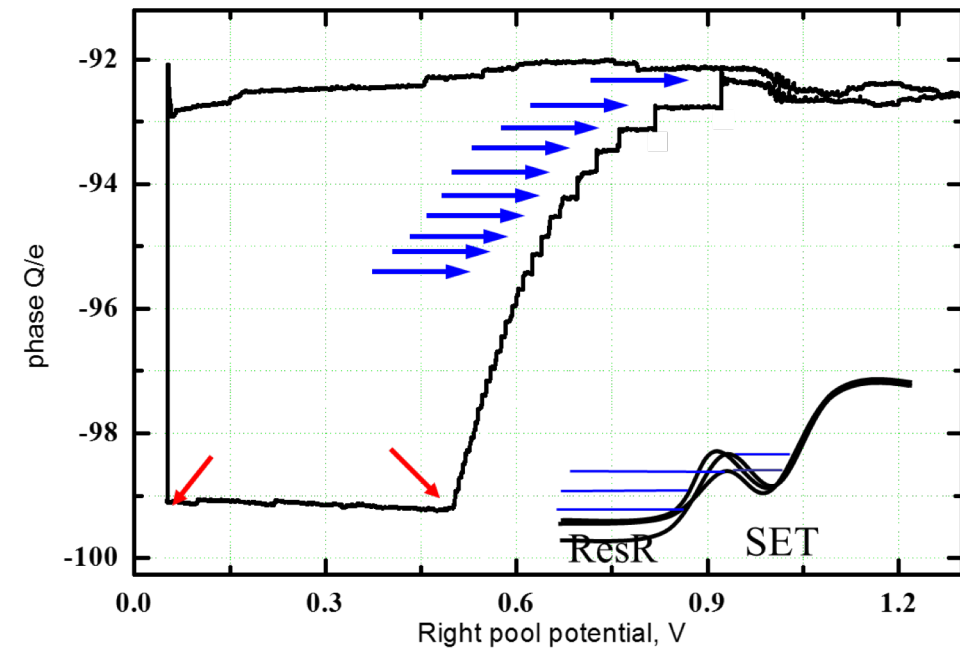
リュードベリ状態の緩和の由来



単一電子のトラップ

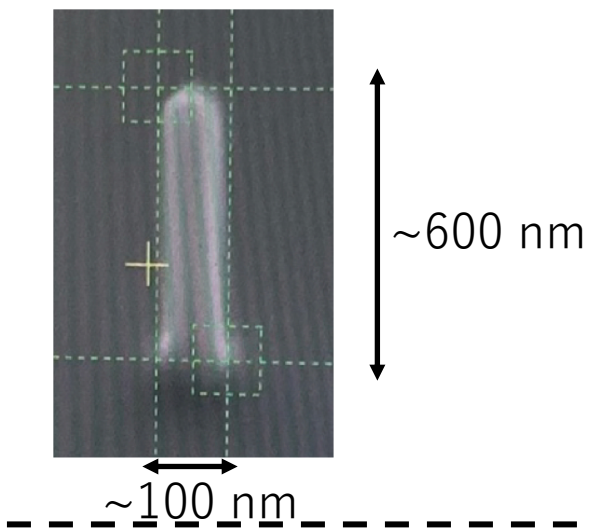
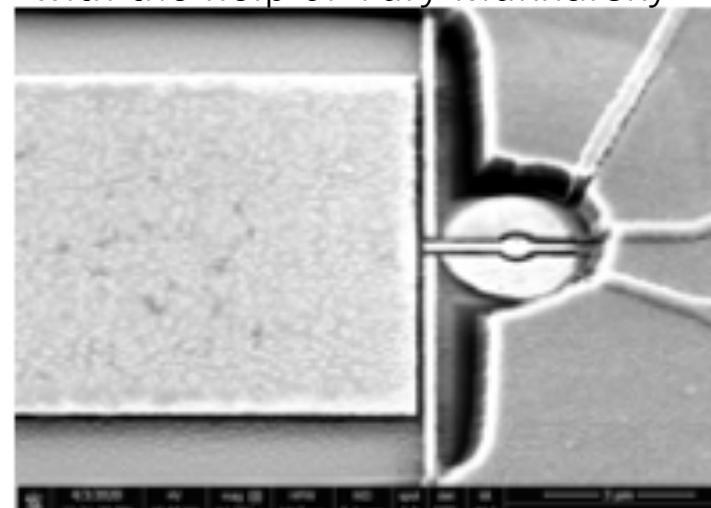
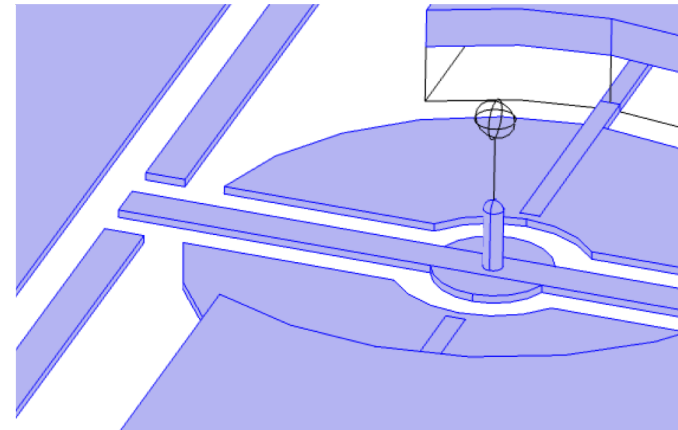
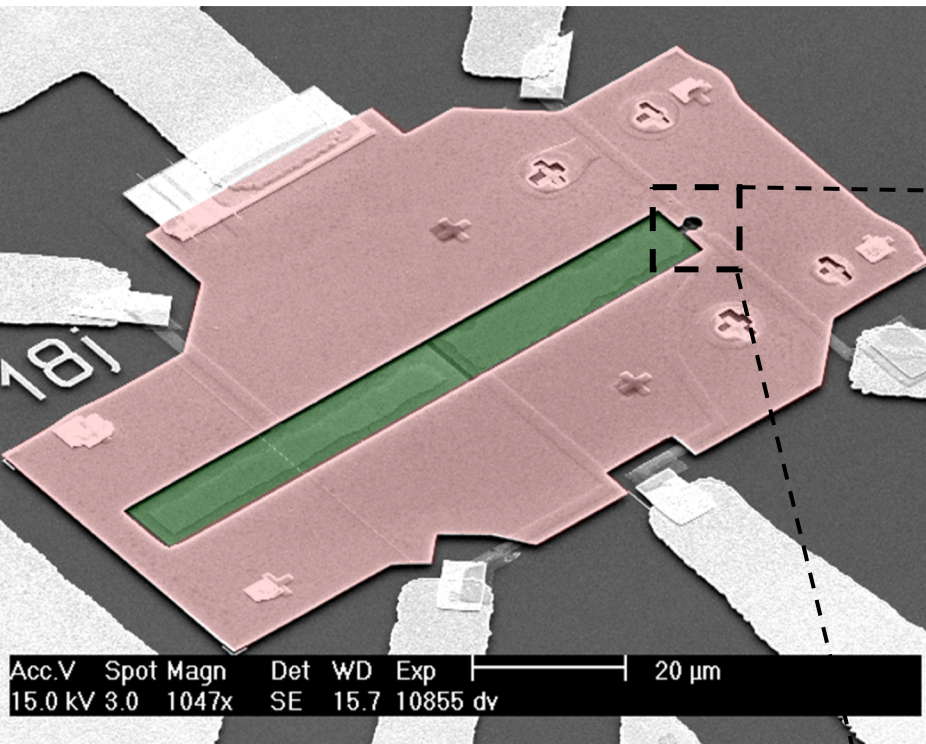


電子の数をカウントした実験

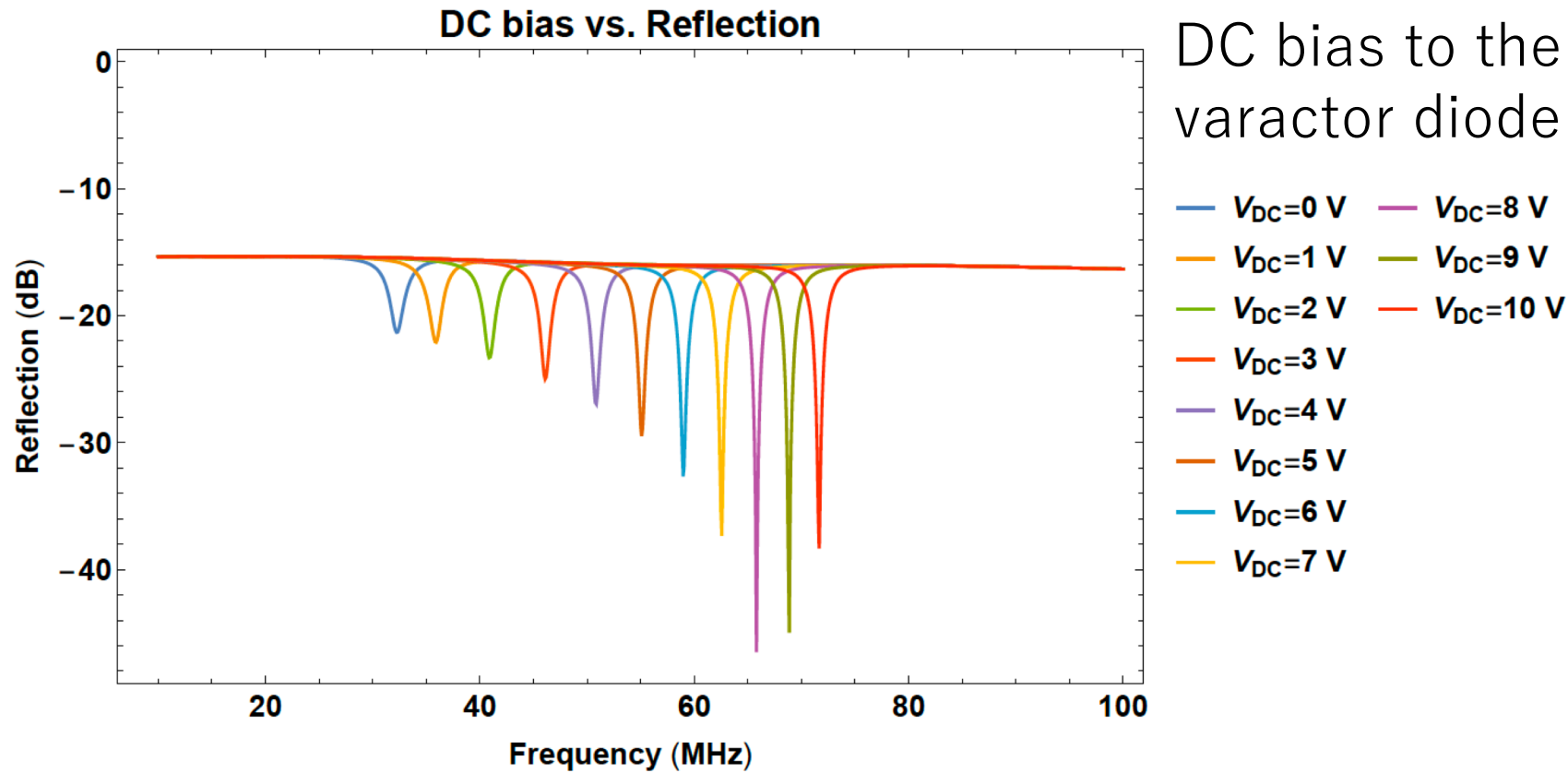


E. Rousseau, D.Ponarin, L. Hristakos, O. Avenel, E. Varoquaux,
and **Y. Mukharsky**, Phys. Rev. B 79, 045406 (2009)

単一電子のリュードベリ状態の遷移を検出するためのサンプル



LC共振回路



キャパシタンス感度： $S_c \sim 0.3 \text{ aF}\sqrt{\text{Hz}}$ @1.7 K

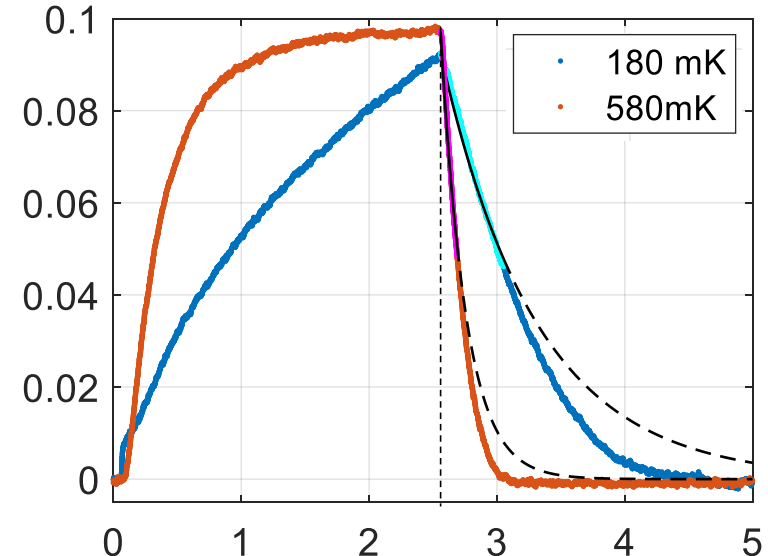
まとめ

ヘリウム表面上の多数の電子をcapacitiveに読み出し

リュードベリ状態の遷移の新しい検出方法

リュードベリ状態の緩和時間~1 us

→ 単一電子に対しても実現する

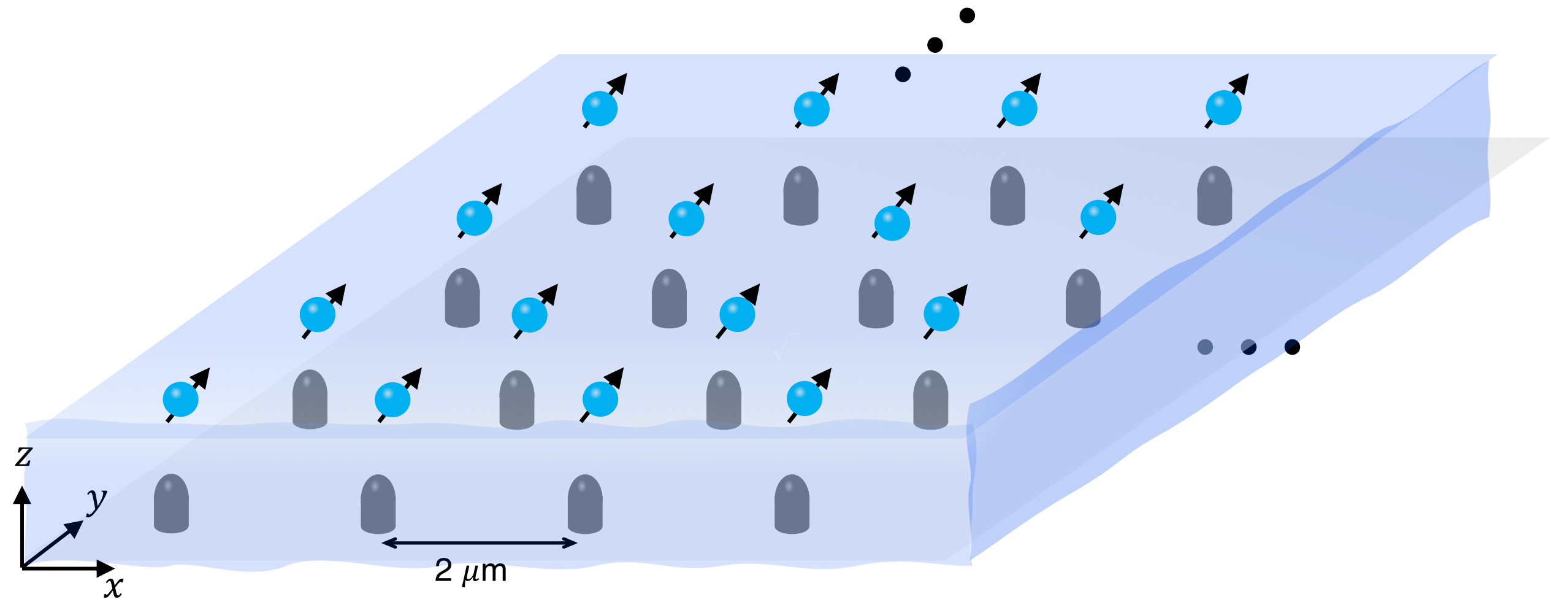


ヘリウム液面上の電子のスピン状態で量子ビットを作る

→ リュードベリ状態とスピン状態の相互作用を人工的に作る

→ 量子ビットゲートを実現

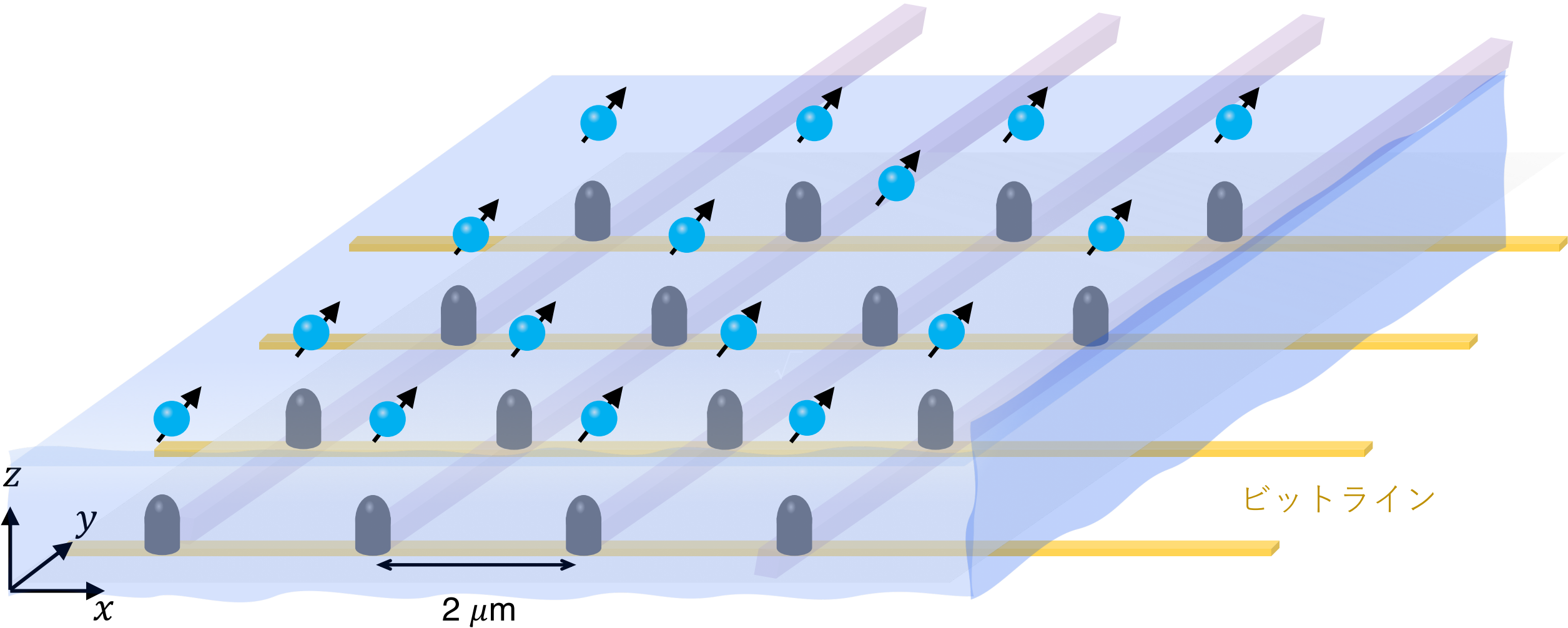
2次元集積化



2次元集積化

ワードライン

ビットライン



2次元集積化

